

بررسی آزمایشگاهی استفاده از فیلر های بازیافتی در بهبود عملکرد مخلوط آسفالت سنگدانه ای

احمد باصری ازغندي^۱، میثم پورعباس بیلنندی^{۲*}، دانیال معظمی^۳

۱ - گروه عمران، واحد مشهد، دانشگاه آزاد اسلامی، ایران، a.baseri94@gmail.com
۲* - گروه عمران، دانشکده فنی و مهندسی، مجتمع اموزش عالی گناباد، گناباد، ایران، mpoorabbas64@gmail.com
۳ - گروه عمران، واحد مشهد، دانشگاه آزاد اسلامی، مشهد، ایران، D_moazami@mshdiau.ac.ir

چکیده

تحقیق حاضر با هدف بررسی تاثیر نوع فیلر بر خواص مکانیکی مخلوط آسفالت ماستیک سنگدانه ای (SMA^۱) انجام گرفته است. بدین منظور، پنج نوع فیلر، شامل فیلر سیلیسی (SF^۲)، بعنوان فیلر پایه در نمونه شاهد، سیمان پرتلند (OPC^۳) و پودر سنگ (LSP^۴)، بعنوان فیلرهای رایج، همچنین پودر شیشه بازیافتی (RGP^۵) و پسماند کاربید کلسیم (CCR^۶)، بعنوان فیلرهای بازیافتی، بصورت خالص یا ترکیب شده با یکدیگر مورد استفاده قرار گرفتند. به منظور بررسی استقامت مارشال (MS^۷) و ضربه مارشال (MQ^۸) که یکی از پارامتر های رایج اثر گذار در طراحی روسازی می باشد، از آزمایش تعیین مقاومت مارشال استفاده شده است. همچنین مقاومت در برابر ترک خودگی و حساسیت رطوبتی آسفالت با انجام آزمایش مقاومت کششی غیرمستقیم (ITS^۹) در حالت خشک و اشباع و نیز بدست آوردن نسبت مقاومت کششی (TSR^{۱۰}) مورد ارزیابی قرار گرفتند. نتایج نشان داده اند که نمونه های حاوی ترکیب فیلرهای بازیافتی، بهترین عملکرد را در ارتقای خصوصیات آسفالت SMA داشته اند. بگونه ای که استفاده از ترکیب فیلرهای بازیافتی، سبب بهبود بخشیدن خواص مقاومتی و کاهش حساسیت رطوبتی آسفالت نسبت به نمونه های حاوی فیلر سیلیسی گردیده و مقادیر ITS، MS، MQ، و TSR را بترتیب بمیزان ۳۶، ۱۹، ۲۴ و ۳۱ درصد نسبت به بهترین نتایج متناظر بدست آمده با استفاده از فیلرهای رایج (OPC و LSP) افزایش داده اند. بنابر این، استفاده از ترکیبات RGP و CCR بعنوان فیلر در آسفالت SMA، علاوه بر کمک به حفاظت از محیط زیست، حفظ منابع طبیعی و صرفه جویی اقتصادی، از نظر فنی نیز می تواند در بهبود پارامتر های مقاومتی و عمر سرویس مخلوطهای آسفالتی و همچنین کاهش حساسیت رطوبتی آسفالت بسیار موثر واقع گردد.

کلمات کلیدی:

آسفالت سنگدانه ای، کاربید کلسیم پسماند، پودر شیشه بازیافتی، شیار شدگی، حساسیت رطوبتی.

¹ Stone Mastic Asphalt

² Silica filler

³ Ordinary Portland Cement

⁴ Limestone powder

⁵ Recycled Glass Powder

⁶ Calcium Carbide Residue

⁷ Marshall Stability

⁸ Marshall Quotient

⁹ Indirect Tensile Strength

¹⁰ Tensile Strength Ratio

۱. مقدمه

مخلوط آسفالتی یک ماده کامپوزیت ویسکوالاستیک است که از قیر، مصالح سنگی درشت دانه و ریزدانه و فیلر در نسبتهاي معين تشکيل می گردد [1]، که آسفالت ماستیک سنگدانه ای (SMA) یکی از انواع متداول آن می باشد. این نوع از آسفالت، در اواسط دهه ۱۹۶۰ توسط یک مدیر و مهندس آلمانی به نام دکتر زیخنر (Zichner) معرفی گردید [2]. ایده اولیه SMA بر اساس تشکیل یک اسکلت مستحکم سنگی جهت مقاومت در برابر بارهای وارد و سایش، و مقدار زیادی از ماستیک (ترکیب قیر، ماسه، فیلر و در برخی موارد الیاف) جهت پر نمودن فضاهای خالی و افزایش عمر سرویس آسفالت با دانه بندی گستته و توپر بوده است [۳]. با توجه به هزینه های هنگفت سالانه کشورها و بخصوص ایران، در تولید مخلوطهای آسفالتی و مرمت و نگهداری راه ها و نیز عدم توانایی قیرهای تولیدی در تامین برخی خصوصیات مطلوب مخلوطهای آسفالتی از جمله دوام، انعطاف پذیری، مقاومت در برابر شیارزدگی، ترک خوردگی ناشی از خستگی، دوره های انجماد و ذوب، رطوبت و غیره، لزوم توجه بيشتر مهندسين راهسازی به مقوله اصلاح مخلوطهای آسفالتی بویژه از طریق استفاده از افزودنیهای مختلف جهت بهبود خواص قیر، امری اجتناب ناپذیر می باشد. در سالهای اخیر، روشهایی شامل افزودن مواد پلیمری [۴-۱۲] و یا افزودن مواد پسماند بعنوان فیلرهای معدنی به آسفالت [۱۲-۲۰] مورد استفاده قرار گرفته اند که توانسته اند موجب بهبود خواص مکانیکی و دوام مخلوطهای آسفالتی گردند. استفاده از مواد پسماند بعنوان فیلر، علاوه بر بهبود خواص مکانیکی آسفالت، موجب کاهش آلودگی محیط زیست از طریق کاهش حجم زباله، کاهش استفاده از منابع طبیعی تجدیدناپذیر از طریق کاهش مصرف مصالح معدنی، سیمان پرتلند و آهک بعنوان فیلر، و نیز افزایش صرفه جویی اقتصادی بدليل فراوانی بالا و قیمت پایین این مواد می گردد. تا کنون در تحقیقات و تولید مخلوطهای آسفالتی علاوه بر فیلرهای رایج مانند فیلرهای معدنی (پودر سنگهای آهکی و سیلیسی)، آهک و سیمان پرتلند، از فیلرهای پسماند نظیر پودر شیشه [۱۶]، گرافیت [۳۹]، پودر بتون بازیافتی [۴۰]، لای قرمز (red mud) [۱۶، ۲۷-۲۱]، پسماند آهک هیدراته و انواع سنگها [۲۱، ۲۴، ۳۰-۳۳]، خاکستر پوسته و کاه برج [۱۴]، پودر آجر بازیافتی [۳۵، ۳۴، ۲۷، ۲۱]، پسماند کاربید کلسیم [۱۶، ۲۱]، نانو مواد [۳۸]، سرباره کوره های ذوب فلزات [۲۶]، گرافن و تورمالین [۱۵]، پسماندهای معدن مس [۱۶، ۲۰، ۲۱]، انواع کربن شامل کربن سیاه، کربن فعال، گرافیت [۴۰]، پودر بتون بازیافتی [۴۱، ۲۴]، انواع خاکستر بادی و خاکستر زغال [۱۹، ۲۹، ۳۵] زغال سنگ ضایعاتی [۴۵]، پودر لاستیک خودرو [۴۶]، خاکستر لاستیک خودرو [۴۷]، پسماند لنت ترمز خودرو [۴۸]، ضدیغ بر پایه سدیم کلراید [۴۹]، رسهای سفیدکننده (هیدروسیلیکاتهای آلومینیوم) [۵۰]، زیرکونیوم تنگستات [۵۱] و پوسته صدف دریایی [۵۲] نیز استفاده گردیده است. از میان مواد پسماند مورد استفاده بعنوان فیلر در مخلوطهای آسفالتی، دو ماده پودر شیشه بازیافتی (RGP) و پسماند کاربید کلسیم (CCR) تاثیرات مثبتی در بهبود بخشیدن به خواص مکانیکی و دوام آسفالت داشته اند. عربانی و همکاران (۲۰۱۶) از پودر شیشه بازیافتی و چند نوع مصالح دیگر بعنوان فیلر در آسفالت HMA استفاده نموده و آزمایشاتی مانند استحکام مارشال، مدول سختی کششی غیرمستقیم (ITSM)، و خستگی کششی غیرمستقیم (ITF) را بر روی نمونه های آسفالتی انجام دادند و به این نتیجه رسیدند که فیلر پودر شیشه نسبت به سایر انواع فیلر تاثیر بیشتری در افزایش مدول سختی کششی، ضریب مارشال و عمر خستگی مخلوط آسفالتی داشته که به تبع آن، کرنش نهایی مخلوط آسفالتی حاوی فیلر پودر شیشه، نسبت به سایر فیلرها کمتر بوده است [۲۷]. سیمن و همکاران (۲۰۱۷) تاثیرات جایگزینی فیلر پودر شیشه بازیافتی را با پودر سنگ آهک در مخلوط آسفالتی بازیافتی با دانه بندی توپر (dense graded) با استفاده از آزمایشاتی مانند مقاومت کششی غیرمستقیم و تغییر شکل دائمی، مورد بررسی قرار دادند. نتایج بدست آمده نشان دادند که پودر شیشه عملکرد بهتری نسبت به پودر سنگ آهک، در کاهش تغییر شکل دائمی آسفالت بخصوص با قیر اصلاح نشده داشته است [۲۵]. طاهر خانی (۱۳۹۴) به بررسی رفتار بتون های

آسفالتی حاوی فیلر های پودر شیشه و پودر آجر پرداخت. به طور کلی نتایج پژوهش این محقق نشان دهنده تاثیرات مناسب تر استفاده از فیلر پودر آجر نسبت به فیلر پودر شیشه بوده، اما با این حال خصوصیات آسفالت های اصلاح شده با هر دو نوع فیلر ذکر شده نسبت به آسفالت اصلاح نشده بهبود قابل توجهی نشان داده است [53]. چادری و همکاران (۲۰۱۸) از CCR عنوان یک فیلر در ماکادام با دانه بندی پیوسته، بهمراه چند نوع دیگر از فیلرها استفاده نمودند. نتایج نشان دهنده تاثیر مثبت این فیلر در بهبود خصوصیاتی مانند حساسیت به رطوبت، مقاومت در برابر ترک خوردگی، مقاومت کششی غیرمستقیم، و چسبندگی فعال و مقاوم آسفالت گردیده است [۲۱]. در مورد تاثیر فیلر بر خصوصیات مهندسی SMA می توان به مطالعه انجام شده توسط حبیب نژاد و همکاران (۲۰۲۰) اشاره نمود که از پودر کربن آمورف عنوان فیلر جایگزین آهک در SMA استفاده نموده، و آزمایشاتی مانند مقاومت کششی غیرمستقیم و مدول برجهندگی در حالت های خشک و اشباع، جوشش آب، خزش دینامیکی، و ویلتراک را روی نمونه ها انجام دادند. نتایج نشان دهنده بهبود چشمگیر در خصوصیات آسفالت با افزودن کربن عنوان فیلر می باشد که مقدار بهینه آن ۵۰٪ بdst آمد بود [۳۹]. عاملی و همکاران (۲۰۲۰) نیز از خاکستر پوسه برنج (RHA) و خاکستر زغال (CWA) عنوان فیلر جایگزین آهک در SMA استفاده نمودند. آنها با استفاده از آزمایشاتی مانند بازیابی خزش-تنش (MSCR) و دامنه خطی رفت و برگشتی (LAS)، شیارشدنگی و خستگی مخلوطهای آسفالتی را مورد ارزیابی قرار دادند. علاوه بر آن، آزمایشات استحکام مارشال، مدول برجهندگی، خزش دینامیکی، مقاومت کششی غیرمستقیم، و حساسیت رطوبتی بمنظور ارزیابی رفتار مکانیکی آسفالت انجام گرفته است. نتایج نشان دادند که افزودن RHA بر عکس CWA، سبب افزایش مقاومت در برابر شیارزدگی، استحکام مارشال، مدول برجهندگی، حساسیت رطوبتی و مقاومت کششی آسفالت گردیده، و CWA فقط در بهبود خستگی ماستیک و نیز حساسیت رطوبتی آسفالت تاثیر قابل قبول داشته است [35]. در مطالعه ای دیگر، باب الغیث و همکاران (۲۰۲۰) از کلینکر نخل روغنی (POC) عنوان فیلر در SMA استفاده، و آزمایشات مدول برجهندگی، خزش دینامیکی، مقاومت کششی غیرمستقیم، ویلتراک، و دوام کانتابر و را بر روی نمونه های آسفالت انجام دادند. برآیند نتایج نشان دهنده بهبود خصوصیات آسفالت با افزودن POC بوده است. بگونه ای که حتی می توان ۱۰۰٪ فیلر را با POC جایگزین نمود [۴۴]. منصوریان و مولایی (۱۳۹۴) از ذرات پودر شیشه و خرد لاستیک به منظور بهبود مقاومت شیارشدنگی آسفالت استفاده نموده اند. نتایج این پژوهش نشان داد که استفاده از ذرات شیشه به خوبی می تواند مقاومت آسفالت در برابر شیارشدنگی را افزایش دهد [54]. همچنین در پژوهش دیگر بیرامی و همکاران (۱۳۹۷) به بررسی اثر توام استفاده از پودر شیشه ضایعاتی و نانو ذرات اکسید های فلزی بر پدیده عریان شدنگی آسفالت پرداختند. نتایج این پژوهش بیانگر تاثیرات مثبت و قابل توجه استفاده از افزودنی های ذکر شده بر اصلاح خواص قیر و افزایش مقاومت آسفالت در مقابل پدیده عریان شدنگی و کاهش حساسیت رطوبتی آسفالت بوده است [55]. در این تحقیق، مقاومت غیر مستقیم آسفالت SMA در برابر شیارشدنگی (Rutting)، ترک خوردگی و حساسیت رطوبت، با استفاده از ترکیب فیلرهای رایج مانند فیلر سیلیسی معدنی (SF)، پودر سنگ (LSP)، سیمان پرتلند (OPC)، و فیلرهای بازیافتی مانند پودر شیشه (RGP) و پسماند کاربید کلسیم (CCR) مورد بررسی قرار گرفته است. هدف از این تحقیق، علاوه بر منافع اقتصادی و زیست محیطی، بررسی امکان استفاده حداکثری از ظرفیت این فیلرهای معرفی ترکیب جدیدی از آنها جهت بهبود خواص مکانیکی و دوام SMA بوده است که در این راستا، آزمایشات استحکام مارشال، تعیین نرمی و ITS در دو حالت خشک و اشباع بر روی نمونه های ساخته شده انجام گرفته است.

۲. مواد و روشها

۲-۱. مواد

سنگدانه های مورد استفاده، از کارخانه آسفالت شماره ۲ مجیدیه، واقع در حومه شهر مشهد تهیه شده است. لازم به ذکر است که به منظور حصول دقت در نتایج تحقیق، در ابتدا فیلر معدنی مخلوط با مصالح سنگی تهیه شده، توسط الک از شن و ماسه جدا گردید تا طبق مقدار از پیش تعیین شده به نمونه شاهد اضافه گردد. جدولهای ۱ و ۲ و شکل ۱، بترتیب خصوصیات فیزیکی مصالح سنگی، دانه بندی و همینطور محدوده مجاز دانه بندی SMA بر اساس پیشنهاد FHWATWG، و منحنی دانه بندی SMA را نشان می دهند.

جدول ۱- خصوصیات فیزیکی مصالح سنگی.

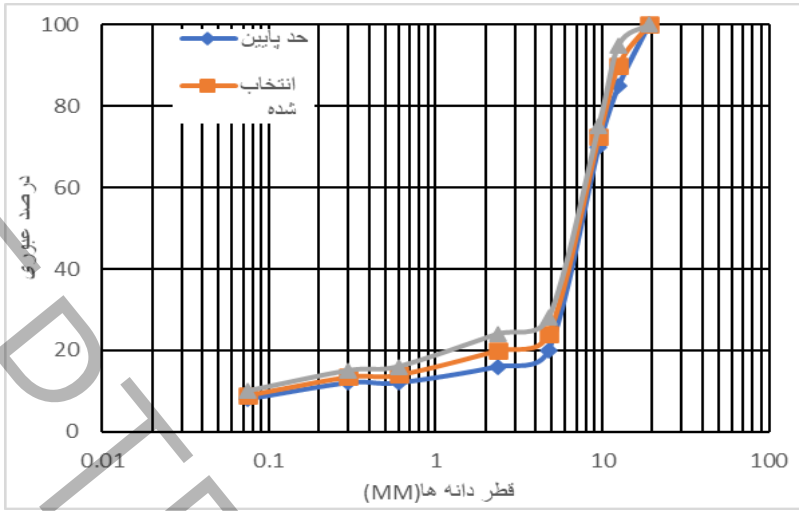
Table 1. Physical properties of stone materials

مشخصه	روش	درشت دانه	ریزدانه (ماسه ۶+)
افت وزنی در مقابل سایش با روش لس آنجلس (%)	AASHTO-T96	۲۴	-
ارزش ماسه ای	AASHTO-T176	-	۶۰
حدود اتربرگ (%)	AASHTO-T89,90	LL	غیر خمیری
		PL	-
		PI	غیر قابل تعیین
شکستگی مصالح سنگی روی الک شماره ۴ (%)	ASTM D5821	در یک جبهه	-
		در دو جبهه	-
گوشه داری مصالح ریزدانه بروش A (%)	ASTM C1252	۷۶	۴۳
تطویل و تورق (%)	BS-812	تطویل	۱۳
		تورق	۱۱
افت وزنی در مقابل سولفات سدیم (%)	AASHTO-T104	ریزدانه	۱
		درشت دانه	-
تأثیر آب جوش بر پوشش قیری مصالح	ASTM D3625	۹۵ <	پوشش قیری

جدول ۲- توزیع اندازه دانه های SMA

Table 2. Grain size distribution of the SMA

اندازه چشمی الک (mm)	درصد عبوری (mm)	محدوده مجاز (%)
۱۹	۱۰۰	۱۰۰
۱۲/۵	۹۰	۸۵-۹۵
۹/۵	۷۲/۵	۷۵≥
۴/۷۵	۲۴	۲۰-۲۸
۲/۳۶	۲۰	۱۶-۲۴
۰/۶	۱۴	۱۲-۱۶
۰/۳	۱۳/۵	۱۲-۱۵
۰/۰۷۵	۹	۸-۱۰



شکل ۱. منحنی دانه بندی SMA.

Figure 1. Grain size distribution curve of SMA.

۲-۱-۲. قیر

قیر انتخابی جهت انجام این تحقیق، با درجه نفوذ ۶۰-۷۰ تولید شده در پالایشگاه اصفهان بوده است. برخی از مشخصات قیر مصرفی، در جدول ۳ نشان داده شده است.

جدول ۳- مشخصات فنی قیر مصرفی.

Table 3. Technical specifications of the bitumen used.

واحد	مقدار	روش		مشخصه
		AASHTO	ASTM	
	۱,۰۱۹	T228	D70	وزن مخصوص در ۲۵°C
dmm	۶۳	T49	D5	درجه نفوذ در ۲۵°C
°C	۵۰,۸	T53	D36	نقطه نرمی (گلوله-حلقه)
cm	۱۰۰<	T51	D113	مقدار کشیدگی در ۲۵°C
	-	T44	D2042	حالیت در تری کلورو اتیلن
°C	۲۲۲	T48	D92	درجه اشتعال (ظرف روباز-کلولند)
cSt	۵۹۴	T201	D2170	ویسکوزیته کینماتیک در ۱۲۰°C
cSt	۳۸۴	T201	D2170	ویسکوزیته کینماتیک در ۱۳۵°C
cSt	۱۶۶	T201	D2170	ویسکوزیته کینماتیک در ۱۶۰°C
%	.۰,۱			افت حرارتی
dmm	۴۵			درجه نفوذ بعد از آزمایش افت حرارتی
%	۷۱,۴			نسبت درجه نفوذ بعد از آزمایش افت حرارتی به درجه نفوذ اولیه
cm	۵۰<			مقدار کشش قیر بعد از آزمایش افت حرارتی در ۲۵°C
	-۰,۵۹			بر حسب درجه نفوذ در ۲۵°C و نقطه نرمی قیر
	-۰,۷۸			PVN بر حسب درجه نفوذ در ۲۵°C و ویسکوزیته بر حسب سانتی استوکس در ۱۳۵°C
	-			PVN بر حسب درجه نفوذ در ۲۵°C و ویسکوزیته بر حسب پواز ۶۰°C

۲-۱-۳. فیلرها

فیلر اصلی مورد استفاده، فیلر سیلیسی (SF) بوده که از معدن سنگدانه های مصرفی تهیه، و به نمونه شاهد اضافه گردیده است. این فیلر از جنس مصالح سنگی مصرفی بوده است. پودر سنگ (LSP) مورد استفاده بعنوان یکی از فیلرهای رایج، از نوع مصالح متداول مورد استفاده در کارهای ساختمانی، و دارای منشا آهکی بوده است. لازم بذکر است که قبل از استفاده از پودر سنگ بعنوان فیلر، این مصالح از الک شماره ۲۰۰ عبور داده و در گرمخانه بمدت ۲۴ ساعت در دمای ۱۰۵ درجه سلسیوس قرار گرفته بود تا رطوبت آن بطور کامل تبخیر گردد. سیمان پرتلند مصرف شده در آسفالت نیز بعنوان یکی دیگر از فیلرهای رایج، از نوع سیمان تیپ ۲ تولید شده در شرکت سیمان شرق بوده که خصوصیات شیمیایی آن در جدول ۴ آورده شده است. یکی از فیلرهای جایگزین یا بازیافتنی، پودر شیشه ضایعاتی بوده که از کارخانه بازیافت پسماند شهری در شهرستان اراک - استان مرکزی تهیه گردیده و پس از عبور داده شدن از الک شماره ۲۰۰، بعنوان فیلر در مخلوطهای آسفالتی مورد استفاده قرار گرفته است. جدول ۴، ترکیبات شیمیایی پودر شیشه را نشان داده است. فیلر جایگزین دیگر، پسماند کاربید کلسیم (CCR) بوده است که یک محصول فرعی از کارخانجات تولید گاز استیلن بوده و طی واکنش شیمیایی ذیل بدست می آید [۵۶، ۵۷]:

$$\text{CaC}_2 + 2\text{H}_2\text{O} \rightarrow \text{C}_2\text{H}_2 + \text{Ca}(\text{OH})_2 \quad (1)$$

در معادله ۱، آب و سنگ کاربید با یکدیگر ترکیب می شوند که محصول اصلی آن گاز استیلن (C_2H_2)، و پسماند یا محصول فرعی آن هیدروکسید کلسیم ($\text{Ca}(\text{OH})_2$) یا CCR می باشد. CCR بصورت یک خمیر آبدار خاکستری رنگ بوده که برای استفاده باید خشک، خرد و الک گردد که پس از عبور از الک شماره ۴۰، دارای چگالی ۲,۴۲-۲,۳۵٪ و شاخص شکل پذیری ۹۲٪ می باشد. در این تحقیق، CCR مورد استفاده از کارخانه توس استیلن، در شهرک صنعتی کلات، واقع در اطراف مشهد تهیه شده که پس از خشک شدن در هوای آزاد و خرد شدن کلوخه ها توسط کمپکتور، توسط دستگاه سایش لس آنجلس و آسیاب سیاره ای بصورت پودر درآمده است. سپس این پودر از الک شماره ۲۰۰ عبور داده، و بمدت ۲۴ ساعت در دمای ۱۰۵ درجه سلسیوس در گرمخانه قرار گرفت تا تبخیر رطوبت بطور کامل صورت گرفته و آماده استفاده بعنوان فیلر گردد. ترکیبات شیمیایی CCR نیز در جدول ۴ به نمایش درآمده است.

جدول ۴- ترکیبات شیمیایی فیلرهای مورد استفاده.

Table 4. Chemical composition of fillers.

ترکیبات شیمیایی٪	کاربید کلسیم پسماند (CCR)	پودر شیشه (RGP)	سیمان پرتلند (OPC)
SiO ₂	۶/۵	۷۲/۶	۲۱/۶
Al ₂ O ₃	۲/۶	۱/۶	۴/۴
Fe ₂ O ₃	۳/۲	۰/۴	۳/۸
CaO	۷۰/۸	۱۱/۲	۶۲/۵
MgO	۰/۶۸	۱/۲۲	۲/۹
SO ₃	۰/۶۶	۰/۰۷	۲
Na ₂ O	ND*	۱۲/۵	۰/۵
K ₂ O	۷/۹	۰/۵۳	۰/۴۵
LOI	۳۰/۷	۰/۲۶	۱/۳

*Not detected

۲-۲- آماده سازی نمونه ها

ساخت نمونه های SMA طبق روش مارشال (ASTM D6926) انجام گرفته است. در این مرحله، ابتدا مقدار قیر مورد نیاز را توسط یک هیتر تا دمای ۱۴۰ درجه سلسیوس گرم شده، سپس سنگدانه های وزن شده که تا ۱۷۰ درجه سلسیوس گرم شده اند، از گرمخانه خارج شده و به قیر اضافه شده اند و عمل اختلاط را در دمای بین ۱۴۰ تا ۱۶۳ درجه سلسیوس تا جایی ادامه می یابد تا تمامی سطوح سنگدانه ها قیراندود گردد. پس از آن مقدار مورد نیاز از فیلر که دمای آن قبل از ۱۷۰ درجه سلسیوس رسیده، به آسفالت اضافه شده و مخلوط گردید. زمان تقریبی برای انجام اختلاط کامل، ۱۰ تا ۱۵ دقیقه بوده که طی این زمان، برای تامین دمای لازم، ظرف محتوی نمونه آسفالتی روی یک هیتر داغ قرار گرفته و دمای مخلوط مرتب توسط یک دماسنجدیجیتال کنترل شده است. لازم بذکر می باشد که مقدار قیر بهینه برابر با ۶٪ وزنی مصالح خشک برای هر نمونه در نظر گرفته شده است. بلافضله پس از اتمام عمل اختلاط، مخلوط آسفالتی به درون قالب مارشالی که از قبل بخوبی گرم و چرب شده، ریخته شده و توسط چکش مارشال متراکم شده است. نحوه تراکم بدین صورت بوده که تعداد ۷۵ ضربه به هر دو انتهای نمونه وارد شده است. این تعداد ضربه بمنظور شبیه سازی ترافیک سنگین در نظر گرفته شده است. بدلیل ایجاد یکنواختی در توزیع ضربه در اوایل عملیات تراکم، نمونه ها بتدریج چرخانده شدند. پس از انجام عمل تراکم و سرد شدن نسبی، نمونه ها توسط یک جک نمونه گیر از قالبها خارج، و برای انجام هر آزمایش علامتگذاری شدند. جدول ۵، نامگذاری، ترکیبات فیلر، مقدار قیر بهینه و آزمایشات انجام شده بر روی نمونه های مختلف SMA را ارائه نموده است.

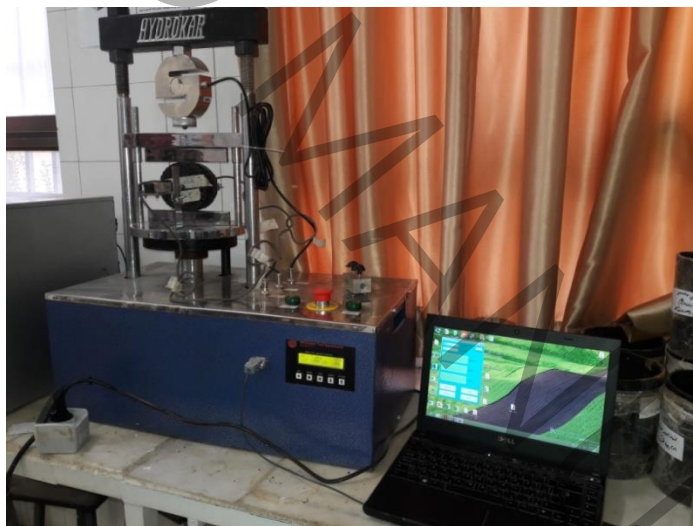
جدول ۵. جزئیات نامگذاری و محتویات نمونه های SMA
Table 5: Nomenclature details and contents of samples

نام نمونه	کد	نوع و نسبت ترکیب فیلر (%)					مقادیر فیلر	مقدار قیر بهینه (%)
		RGP	CCR	OPC	LSP	SF		
شاهد	۱	۱۰۰	۰	۰.۹
اصلی	۱	.	.	.	۱۰۰	۰	۰	۰.۹
اصلی	۲	.	.	۱۰۰	۰	۰	۰	۰.۹
اصلی	۱۱۱	.	۵۰	۵۰	۰	۰	۰	۰.۹
اصلی	۱۱۲	.	۵۰	۰	۵۰	۰	۰	۰.۹
اصلی	۱۱۳	۵۰	۰	۵۰	۰	۰	۰	۰.۹
اصلی	۱۱۴	۵۰	۰	۰	۵۰	۰	۰	۰.۹
اصلی	۱۱۵	۲۰	۸۰	۰	۰	۰	۰	۰.۹
اصلی	۱۱۶	۲۵	۲۵	۵۰	۰	۰	۰	۰.۹
اصلی	۱۱۷	۴۰	۶۰	۰	۰	۰	۰	۰.۹
اصلی	۱۱۸	۲۵	۲۵	۰	۵۰	۰	۰	۰.۹
اصلی	۱۱۹	۶۰	۴۰	۰	۰	۰	۰	۰.۹
اصلی	۱۲۰	۸۰	۲۰	۰	۰	۰	۰	۰.۹
اصلی	۱۲۱	۱۰۰	۰	۰	۰	۰	۰	۰.۹
اصلی	۱۲۲	۰	۱۰۰	۰	۰	۰	۰	۰.۹

۲-۳. فرایند انجام آزمایشات

بمنظور تعیین استحکام مارشال نمونه های آسفالتی که طبق استاندارد ASTM D1559 انجام گرفته است، نمونه ها ۷۲ ساعت قبل از انجام آزمایش ساخته شدند تا با دمای محیط به تعادل برسند. نمونه ها حداقل ۳۰ دقیقه قبل از انجام آزمایش، در حمام مارشال مجهز به ترمومترات، در دمای ۶۰ درجه سلسیوس قرار گرفته اند تا شبیه سازی متناسبی با دمای بیشینه تابستانی صورت گیرد. پس از آن نمونه ها از حمام خارج شده و در دستگاه سنجش مقاومت مارشال مورد آزمایش قرار گرفته اند. این دستگاه، یک دستگاه دیجیتال و دارای سه سنسور بوده که یک سنسور، میزان بار وارد، و دو سنسور دیگر، تغییر شکلهای نمونه را ثبت کرده اند و نمودار اعمال بار در لحظه، توسط کامپیوتر متصل به دستگاه، ترسیم شده است.

آزمایش مقاومت کششی غیر مستقیم (ITS)، برای ارزیابی میزان مقاومت آسفالت در برابر ترک خوردگی بوده [۲۴، ۲۱، ۱۶] و طبق دستورالعمل ASTM D6931، در دمای ۲۵ درجه سلسیوس انجام گرفته است. در این آزمایش نمونه مارشال بصورت قطری بین دو تیغه دستگاه قرار گرفته، و نیروی فشاری با نرخ ثابت ۵۰ میلیمتر بر دقیقه، در راستای قطر نمونه توسط فکها وارد می گردد تا زمانیکه گسیختگی در نمونه رخ دهد. در این حالت، نیروی کششی بصورت عمود بر راستای بارگذاری بر نمونه وارد، و موجب گسیختگی می گردد. شکل ۲ دستگاه مورد استفاده و نحوه انجام آزمایش ITS را نشان می دهد.

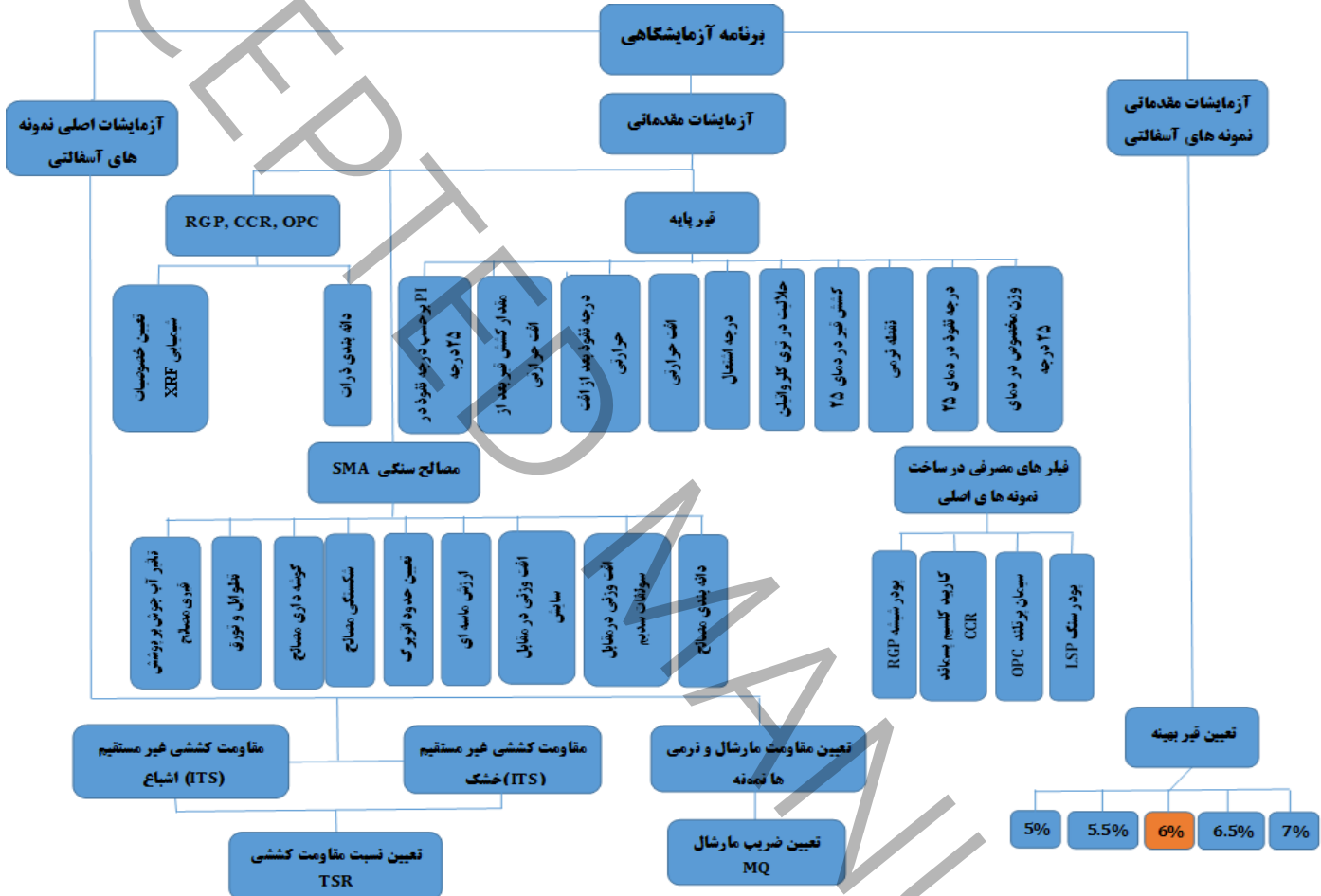


شکل ۲. دستگاه مورد استفاده برای تست ITS.

Figure 2. The device used for ITS test

آزمایش ITS در دو حالت خشک و اشباع انجام گرفته که در حالت دوم، نمونه ها طبق استاندارد AASHTO T283 برای ارزیابی مقاومت در برابر رطوبت (حساسیت رطوبتی) آماده انجام آزمایش شده، و با بدست آوردن نسبت مقاومت کششی اشباع به خشک (TSR)، حساسیت رطوبتی نمونه های آسفالت مورد ارزیابی قرار گرفته است. بمنظور آماده کردن نمونه های اشباع، نمونه های مارشال با استفاده از آب اشباع شده و پس از آن، بمدت ۱۶ ساعت در فریزر و در دمای 18 ± 5 - درجه سلسیوس قرار گرفته اند. پس از آن، هر یک از نمونه ها با کیسه پلاستیکی پوشیده شده و بمدت ۲۴ ساعت در حمام مارشال و در دمای ۶۰ درجه سلسیوس قرار گرفته اند. در انتهای این ۲۴ ساعت، نمونه ها از حمام آب خارج شده و بمدت ۲ ساعت قبل از انجام آزمایش ITS، در دمای محیط که حدود ۲۵ درجه سلسیوس بوده است، قرار داده شدند. سپس

مقاومت کششی غیر مستقیم نمونه های اشباع و غیر اشباع اندازه گیری و مقدار نسبت مقاومت کششی (TSR) اندازه گیری شد. برنامه آزمایشات انجام شده در شکل ۳ به اختصار نمایش داده شده است.



شکل ۳. برنامه تست های انجام شده.

Figure 3. Testing program

۳. بحث و بررسی نتایج

۱-۳. مقاومت و ضرب مارشال

شکل (۴-a-d) نتایج آزمایش مارشال بر روی نمونه های مختلف را نشان می دهد. لازم بذکر است که دسته بندی این نمودارها بر اساس نوع فیلر اصلی (رایج) بکار رفته می باشد. بعنوان مثال، در شکل a-4، علاوه بر نمودار نتایج نمونه آسفالت حاوی فیلر سیلیسی (100SF) که بعنوان نمونه شاهد جهت مقایسه در تمامی نمودارها ترسیم شده است، سایر نمودارهای این شکل بر اساس نتایج حاصل از حضور ثابت درصدهایی از پودر سنگ (LSP) بعنوان فیلر اصلی، و تغییر مقادیر فیلرهای بازیافتنی (RGP و CCR) بعنوان فیلرهای جایگزین ترسیم گردیده اند. همین روش، در ترسیم نمودارهای شکل b-4 با فیلر اصلی سیمان پرتلند (OPC) بکار گرفته شده است. شکل c-4، نتایج بدست آمده از

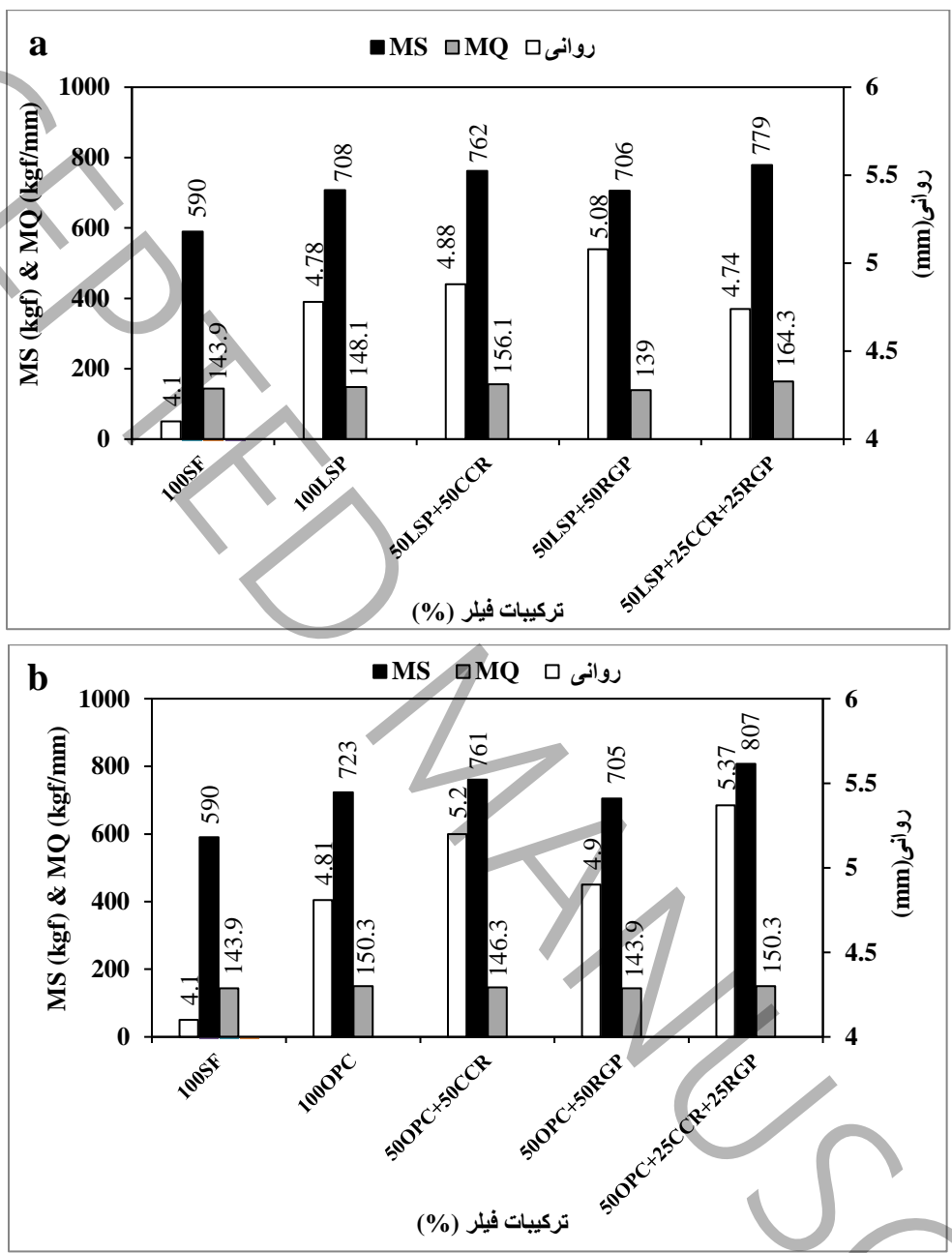
نمونه های فاقد فیلر ترکیبی را برای مقایسه به نمایش گذاشته و شکل ۴-۱، نتایج نمونه های تماما حاوی فیلرهای جایگزین را نشان داده است. جدول ۶ نیز نتایج آزمایشات انجام شده برروی تمامی نمونه را نشان می دهد. لازم به ذکر است اعداد ارائه شده در جدول ۶ برگرفته شده از میانگین نتایج سه نمونه یکسان برای هر طرح اختلاط می باشد.

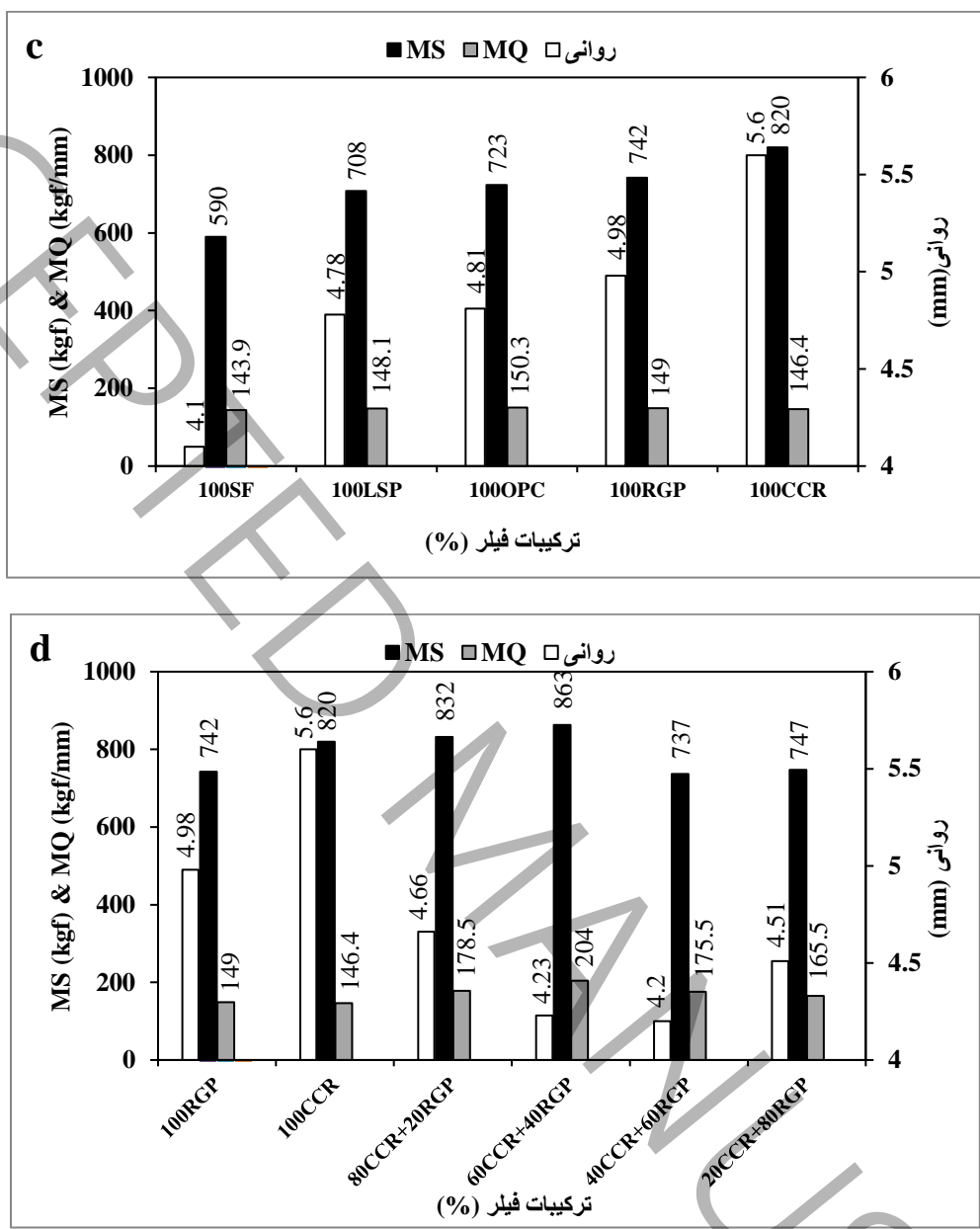
جدول ۶. نتایج آزمایشات انجام شده.

Table 6. The results of the tests

TSR	ITS uncond* (KPa)	MQ (kgf/mm)	MS (kgf)	ترکیبات فیلر ها (%)	مشخصه نمونه	عنوان نمونه
۰/۵۶	۱۴۹۲	۱۴۴	۵۹۰	100SF	۱	نمونه شاهد
۰/۶۴	۱۷۸۹	۱۴۸	۷۰۸	100LSP	۱	نمونه اصلاح شده
۰/۶۲	۱۷۱۸	۱۵۰	۷۲۳	100OPC	۲	نمونه اصلاح شده
۰/۷	۱۸۸۶	۱۴۶	۷۶۱	50OPC+50CCR	۱۱۱	نمونه اصلاح شده
۰/۷۳	۱۸۸۱	۱۵۶	۷۶۲	50LSP+50CCR	۱۱۲	نمونه اصلاح شده
۰/۶۵	۱۹۴۱	۱۴۴	۷۰۵	50OPC+50RGP	۱۱۳	نمونه اصلاح شده
۰/۷۶	۱۸۴۶	۱۳۹	۷۰۶	50LSP+50RGP	۱۱۴	نمونه اصلاح شده
۰/۸	۱۷۴۱	۱۷۹	۸۳۲	80CCR+20RGP	۱۱۵	نمونه اصلاح شده
۰/۷۶	۱۷۸۲	۱۵۰	۸۰۷	50OPC+25CCR+25RGP	۱۱۶	نمونه اصلاح شده
۰/۸۴	۱۹۰۴	۲۰۴	۸۶۳	60CCR+40RGP	۱۱۷	نمونه اصلاح شده
۰/۷۸	۱۸۸۴	۱۶۴	۷۷۹	50LSP+25CCR+25RGP	۱۱۸	نمونه اصلاح شده
۰/۷۷	۱۹۲۰	۱۷۶	۷۳۷	40CCR+60RGP	۱۱۹	نمونه اصلاح شده
۰/۷۳	۲۲۱۶	۱۶۶	۷۴۷	20CCR+80RGP	۱۲۰	نمونه اصلاح شده
۰/۶۹	۱۹۲۸	۱۴۹	۷۴۲	100RGP	۱۲۱	نمونه اصلاح شده
۰/۷	۱۸۶۷	۱۴۶	۸۲۰	100CCR	۱۲۲	نمونه اصلاح شده

*Unconditioned





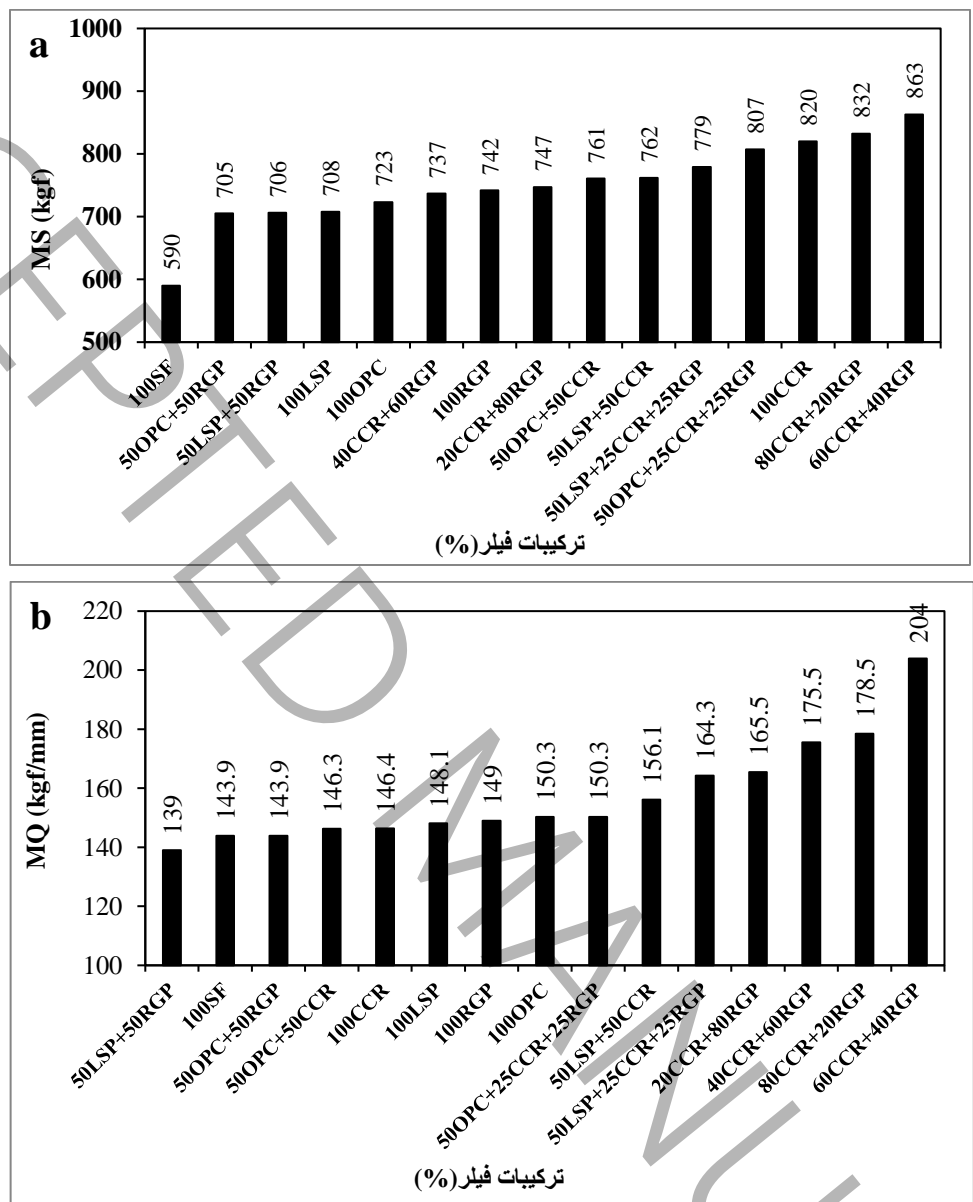
شکل ۴. نتایج آزمایش مارشال (a) بر پایه فیلر LSP (b) بر پایه فیلر OPC (c) فاقد فیلر ترکیبی (d) بر پایه فیلرهای بازیافتی.

Figure 4. Marshall test results a) Based on LSP filler b) Based on OPC filler c) Non combined filler d) Based on recycled fillers

همانطور که در شکل ۴ مشاهده می گردد، با جایگزین نمودن فیلرهای بازیافتی بجای LSP، مقاومت مارشال و ضریب مارشال (Marshall) یا باختصار MQ در نمونه ها بجز نمونه 50LSP+50RGP افزایش یافته که بیشترین افزایش متعلق به نمونه 50LSP+25CCR+25RGP با کد ۱۱۸ بوده است. این نمونه بترکیب دارای ۳۲ و ۱۰ درصد مقاومت مارشال، و نیز ۱۴ و ۱۱ درصد ضریب مارشال بالاتر نسبت به نمونه حاوی فیلر سیلیسی (100SF) و فیلر پودر سنگ (100LSP) بوده است. این نشان دهنده کارایی ترکیب فیلرهای بازیافتی در بهبود مقاومت و ضریب مارشال آسفالت می باشد. وضعیت تقریبا مشابهی را می توان در شکل ۴-b، با فیلر اصلی OPC نیز مشاهده نمود. در شکل ۴-c نیز مشاهده می گردد که نمونه های حاوی ۱۰۰٪ فیلر بازیافتی، دارای مقاومت مارشال و نرمی بالاتری نسبت به نمونه

های حاوی فیلرهای رایج می باشند. اما مقادیر MQ در این نمونه ها تفاوت های اندکی با یکدیگر داشته اند. با دقت در شکل ۴-d و مقایسه مقادیر خصوصیات مختلف آن با شکلهای ۴-a تا ۴-c می توان دریافت که بیشترین استحکام مارشال و MQ در نمونه های حاوی ترکیبی از فیلرهای بازیافتی بدست آمده اند. بگونه ای که بیشترین مقادیر استحکام مارشال و MQ بترتیب برابر با ۸۶۳ kgf و ۲۰۴ kgf/mm و متعلق به نمونه 60CCR+40RGP با کد ۱۱۷ بوده اند.

در ادامه این بخش، به بررسی علل حصول این نتایج پرداخته شده است. در ابتدای بحث باید عنوان نمود که ضریب مارشال (MQ) معیاری برای ارزیابی مقاومت آسفالت در مقابل شیارزدگی (Rutting) یا بعبارتی دیگر، تغییر شکل دائمی (Permanent deformation) می باشد. بدین صورت که هرچه مقدار MQ بیشتر باشد، سختی، قابلیت توزیع یکنواخت تر بار و مقاومت در برابر شیارزدگی آسفالت بیشتر خواهد بود [۲۱، ۲۷، ۲۱] از اینرو، توجه به مقادیر این ضریب، از اهمیت ویژه ای برخوردار است. شکلهای ۵-a و ۵-b و ۵-c بترتیب مقادیر MS (مقاومت مارشال) و MQ نمونه های حاوی فیلرهای مختلف را از مقادیر کمتر تا بیشتر نشان می دهند.



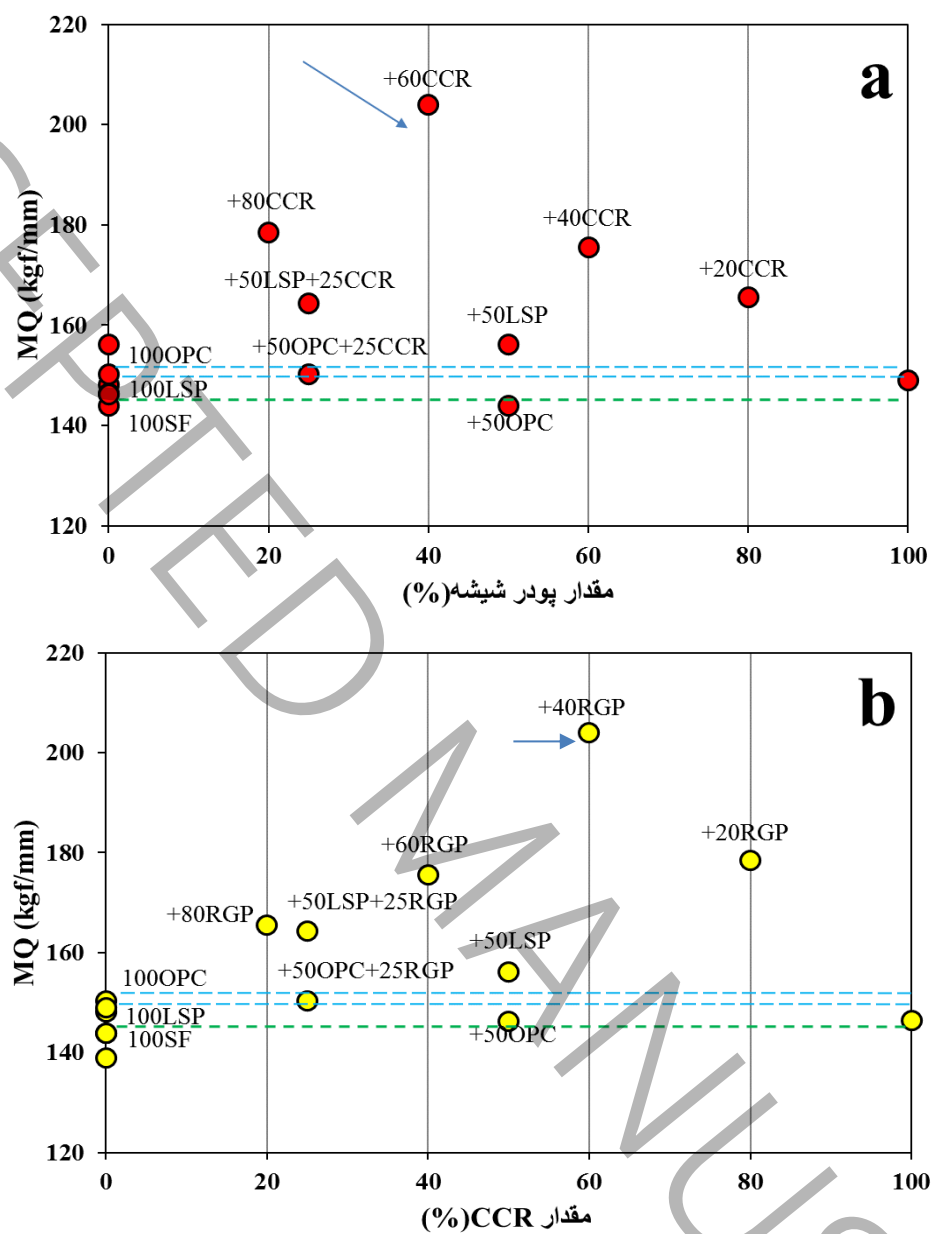
شکل ۵. چیدمان نمونه ها بر اساس a) مقادیر MS و b) مقادیر MQ

Figure 5. Arrangement of samples based on a) MS values b) MQ values

همانطور که در شکلها فوچ مشاهده می گردد، بیشترین مقادیر مقاومت مارشال و MQ عمدتاً متعلق به نمونه های حاوی ترکیبی از فیلرهای بازیافتی بوده است که در ادامه بحث، به بررسی بیشتر این مهم، پرداخته خواهد شد. در ابتدا باید عنوان نمود که ضریب مارشال (Marshall quotient) یا MQ، نسبت مقاومت مارشال به نرمی بوده، و نرمی بیشتر نیز نشانگر شکل پذیری بالاتر آسفالت می باشد اما نمی توان صرفاً با در نظر گرفتن مقادیر نرمی، نقش مهم MQ را نادیده گرفت و در مورد مناسب بودن یا نبودن یک طرح اختلاط آسفالت اظهار نظر نمود. نرمی تابعی از دمای آسفالت، مقدار قیر بهینه، ویسکوزیته، نوع دانه بندی، مقدار و درصد شکستگی مصالح سنگی می باشد. در شرایط یکسانی مانند شرایط در نظر گرفته شده در این تحقیق، تنها تغییر نمونه های آسفالتی نسبت به یکدیگر فقط در نوع فیلر مصرفی می باشد. بنابراین، آگاهی از خصوصیات فیزیکی فیلرها نقش مهمی در بررسی خصوصیات مکانیکی آسفالت دارد. در حالت کلی می توان عنوان نمود که هرچه

ذرات فیلر ریزتر باشند، توانایی نشان دادن واکنش و نیز توزیع آنها در قیر افزایش می‌یابد که این مهم می‌تواند موجب بهبود خصوصیات مهندسی مخلوطهای آسفالتی گردد [۳۷]. پودر شیشه (RGP) ذرات تیزگوشه تر و بافت سطحی صافتری نسبت به سایر فیلرها دارد. این ویژگی می‌تواند موجب جذب قیر کمتر و نیز درهم قفل شدگی و اصطکاک داخلی بهتر این ذرات شده [۱۶، ۲۲]، و دلیلی برای کاهش نرمی با افزایش مقدار RGP بعنوان جایگزین CCR در شکل ۴-d باشد. همچنین قیر حاوی RGP یک ساختار کلوئیدی منظم را بوجود می‌آورد که می‌تواند سنگدانه‌ها را بخوبی به یکدیگر متصل نماید. در حالیکه این ساختار در نمونه‌هایی با فیلرهای رایج مثل LSP و OPC مشاهده نمی‌گردد [۲۲]. بنابر این آسفالت حاوی RGP می‌تواند دارای مقدار MQ بالا و مقاومت قابل قبول در برابر شیارزدگی یاشد [۱۶، ۲۲]. از سوی دیگر، افزایش سختی و مقاومت در برابر شیارزدگی در نمونه‌های حاوی فیلر CCR را می‌توان در دو عامل فیزیکی و شیمیایی جستجو نمود. از نظر فیزیکی، CCR دارای بافت سطحی متخلخل و نامنظم می‌باشد که همین موضوع موجب جذب بهتر قیر شده و انسجام ماستیک را افزایش می‌دهد. از نظر شیمیایی نیز می‌توان عنوان نمود که بعلت مقدار pH بالای CCR و نیز خاصیت نسبتاً اسیدی قیر، واکنش بهتری می‌تواند بین این دو ماده صورت گرفته، و موجب افزایش سختی آسفالت گردد [۱۶، ۲۱، ۲۲]. بدلیل اینکه هدف اصلی از تحقیق حاضر، بررسی تاثیر استفاده از فیلرهای بازیافتی بعنوان جایگزین فیلرهای رایج در آسفالت SMA می‌باشد، عمدتاً سعی بر تشریح بیشتر و بهتر نحوه عملکرد این فیلرها بوده است. بر این اساس، اشکال ۶-a و ۶-b بترتیب تغییرات MQ را براساس تغییر مقادیر RGP و CCR در نمونه‌های مختلف نشان می‌دهند.

ACC
S
C
P



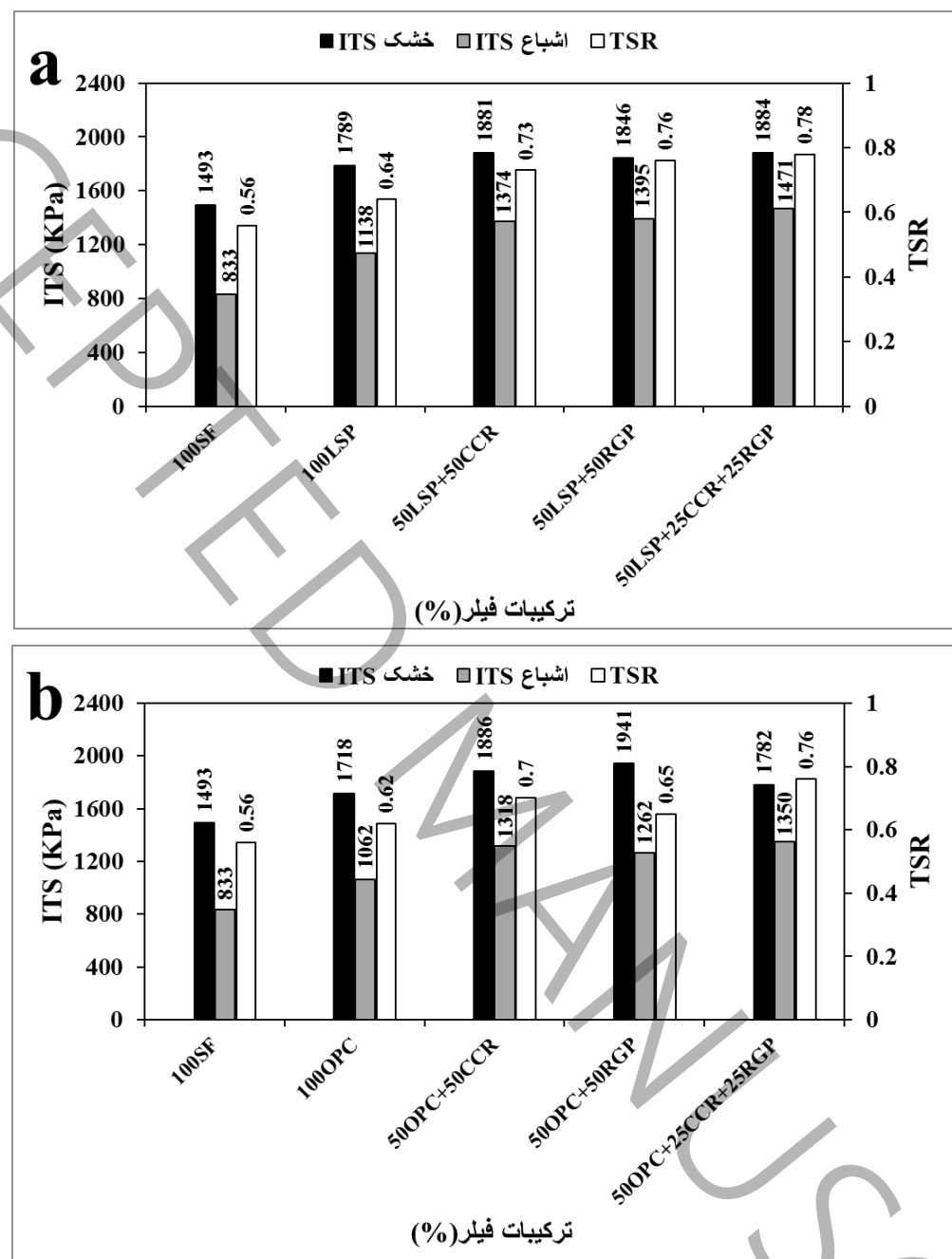
شکل ۶. تغییرات MQ در برابر مقادیر a) RGP و b) CCR
 Figure 6. MQ changes against values a) RGP b) CCR

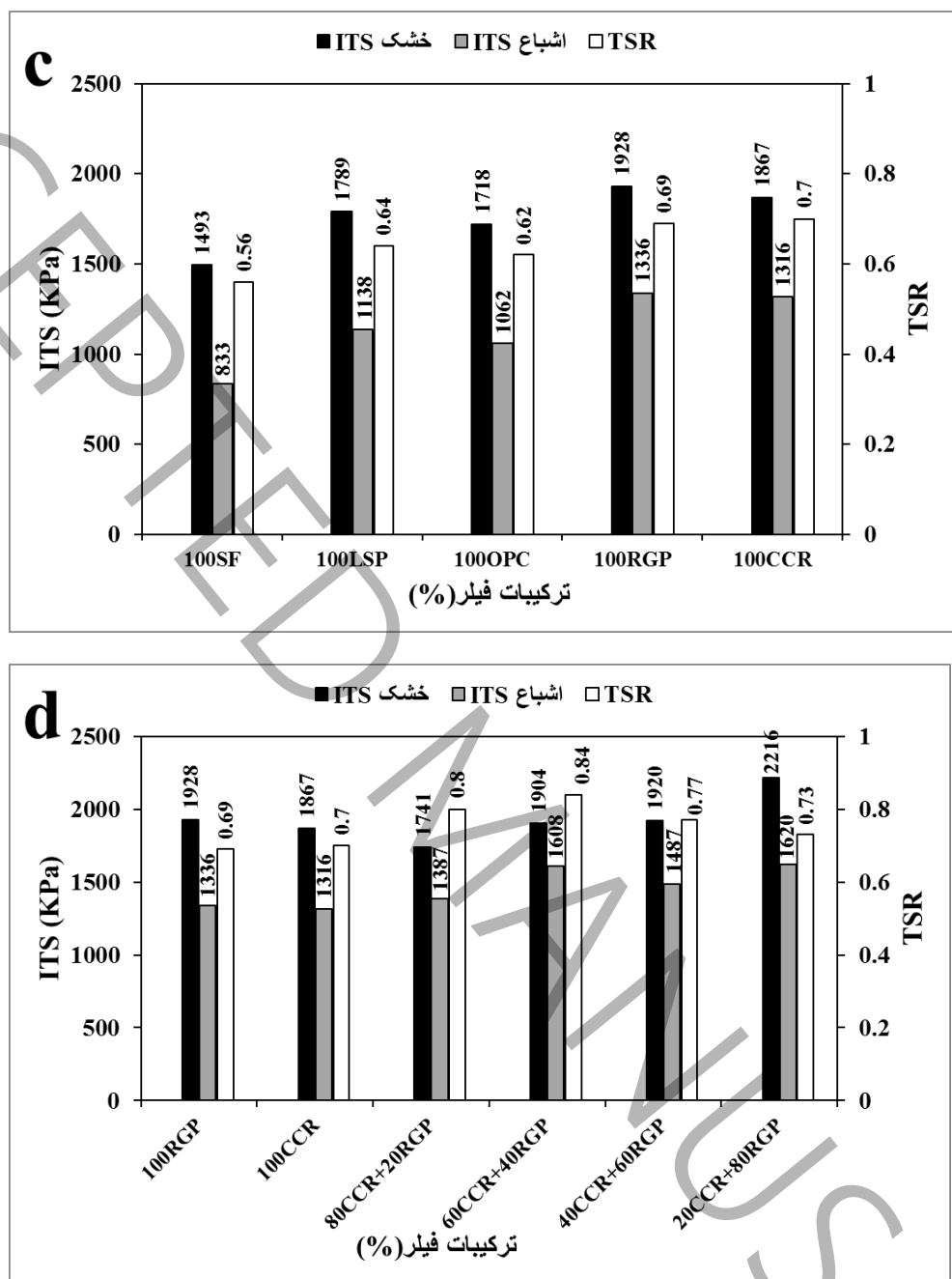
همانطور که در شکل ۶ قابل مشاهده است، با افزایش مقادیر RGP و CCR بترتیب تا میزان ۴۰ و ۶۰ درصد (60CCR+40RGP)، حداقل مقادیر MQ بدست آمده است. همانطور که پیشتر عنوان شد، بیشترین مقادیر MQ متعلق به نمونه های حاوی ترکیبی از فیلرهای بازیافتی بوده و بیشتر نمونه های حاوی درصد هایی از فیلرهای بازیافتی، مقادیر MQ بالاتری نسبت به نمونه های حاوی فیلر اصلی داشته اند (به خطچین های معیار توجه گردد). اما با پیشروی بسمت خلوص بیشتر فیلر از یک نوع، حتی بازیافتی، مانند نمونه های 100RGP و 100CCR، مقادیر MQ با شیب تندی رو به کاهش گذاشته اند. در پاسخ به این مسئله، می توان بدين صورت اظهار نظر نمود که با توجه به تاثیرات بعض اتفاقات RGP و CCR بر خواص آسفالت که پیشتر ذکر گردید، استفاده از ترکیب این دو ماده می تواند با پوشش نقایص احتمالی، و استفاده

از تمامی ظرفیت تاثیرگذاری هر دو ماده یعنی اصلاح شکل ذرات و بافت سطحی، بهترین کارایی را جهت بهبود هرچه بیشتر خصوصیات آسفالت داشته باشد.

۲-۳. مقاومت کششی غیرمستقیم (ITS) و نسبت مقاومت کششی (TSR)

شکل ۷-(a-d)، نتایج آزمایش ITS خشک (Unconditioned)، اشباع (Conditioned) و نسبت مقاومت کششی (TSR) بر روی نمونه های مختلف را نشان می دهد. لازم بذکر است که دسته بندی این نمودارها مانند شکل ۴-(a-d) بر اساس نوع فیلر اصلی (رایج) بکار رفته می باشد.



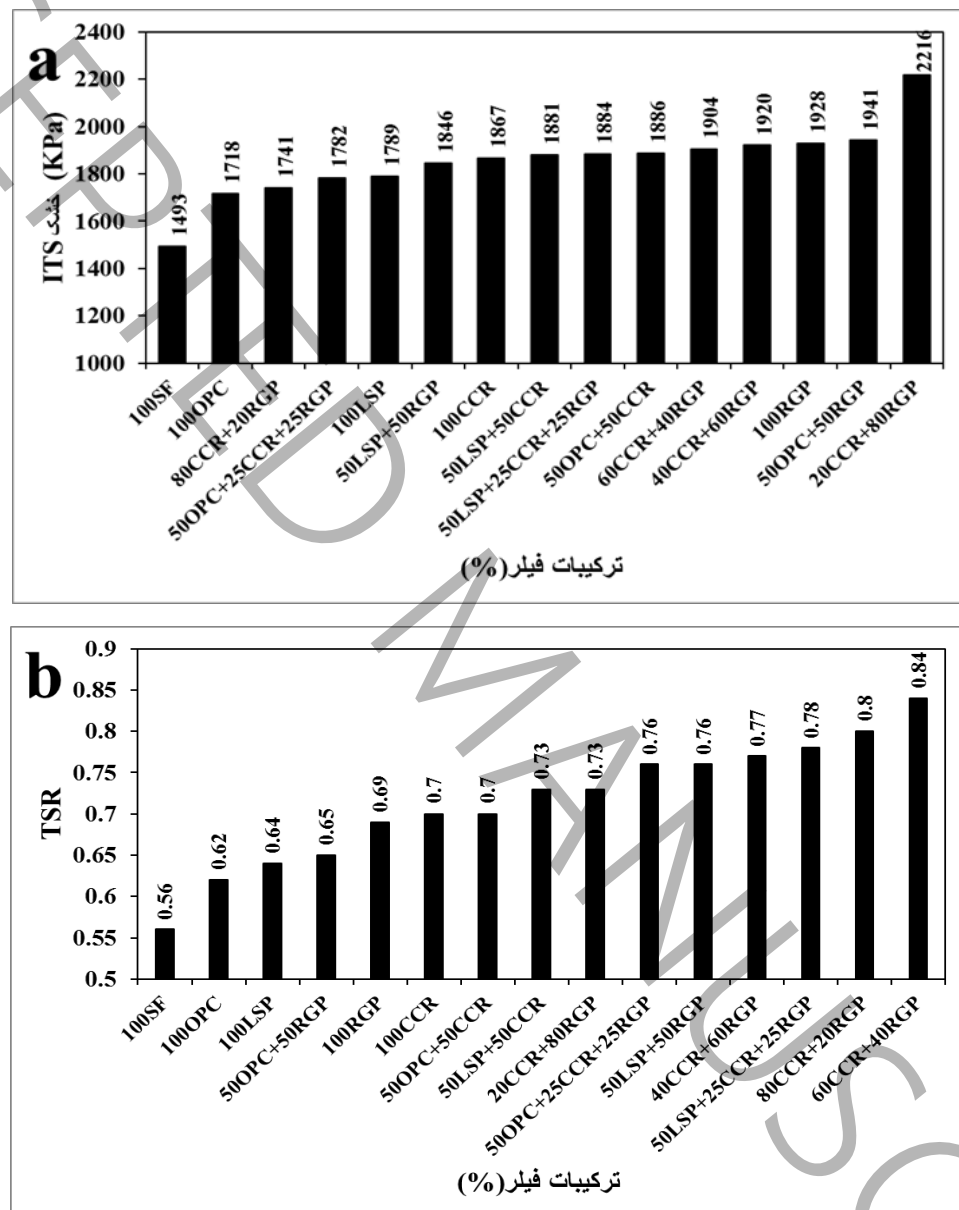


شکل ۷. نتایج آزمایش ITS (a) بر پایه فیلر LSP (b) بر پایه فیلر OPC (c) فاقد فیلر ترکیبی (d) بر پایه فیلرهای بازیافتی.

Figure 7. ITS results a) Based on LSP filler b) Based on OPC filler c) Non combined filler d) Based on recycled fillers

همینطور که در شکل‌های ۷-a و ۷-b مشاهده می‌گردد، با جایگزین نمودن CCR و RGP بجای فیلرهای اصلی (LSP و OPC)، مقاومت کششی در حالت‌های خشک و اشباع، و نیز TSR بشکل قابل توجهی افزایش داشته است. همینطور در شکل ۷-c مشاهده می‌گردد که بیشترین مقادیر TSR و ITS خشک و اشباع متعلق به نمونه‌های 100RGP و 100CCR بوده است. این موضوع نشان دهنده تاثیر مثبت فیلرهای بازیافتی در بهبود مقاومت آسفالت در برابر ترک خوردگی و نیز حساسیت رطوبتی آن می‌باشد. از سویی دیگر در شکل ۷-d قابل رویت است که

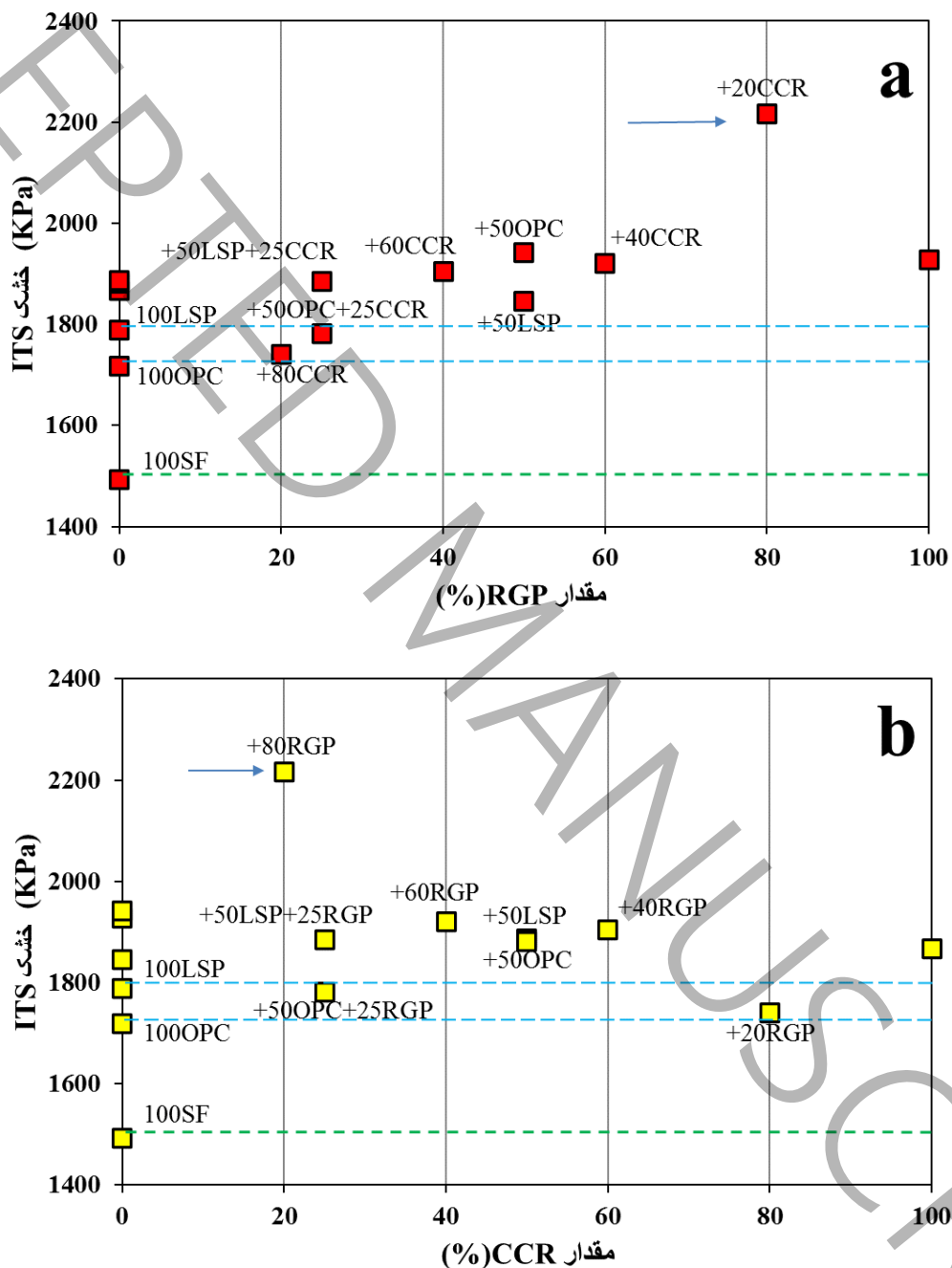
استفاده از ترکیب دو فیلر جایگزین، موجب حصول نتایج بمراتب بهتری نسبت به استفاده از یک فیلر گردیده است که در ادامه، توضیحات بیشتری در مورد دلایل این موضوع ارائه شده است. شکل (a,b)، بترتیب اولویت بندی نمونه های مختلف آسفالت بر اساس ITS خشک و TSR را نشان می دهد.



شکل ۸. چیدمان نمونه ها بر اساس (a) مقادیر ITS خشک (b) مقادیر TSR

Figure 8. Arrangement of samples based on a) ITSdry values b) TSR values

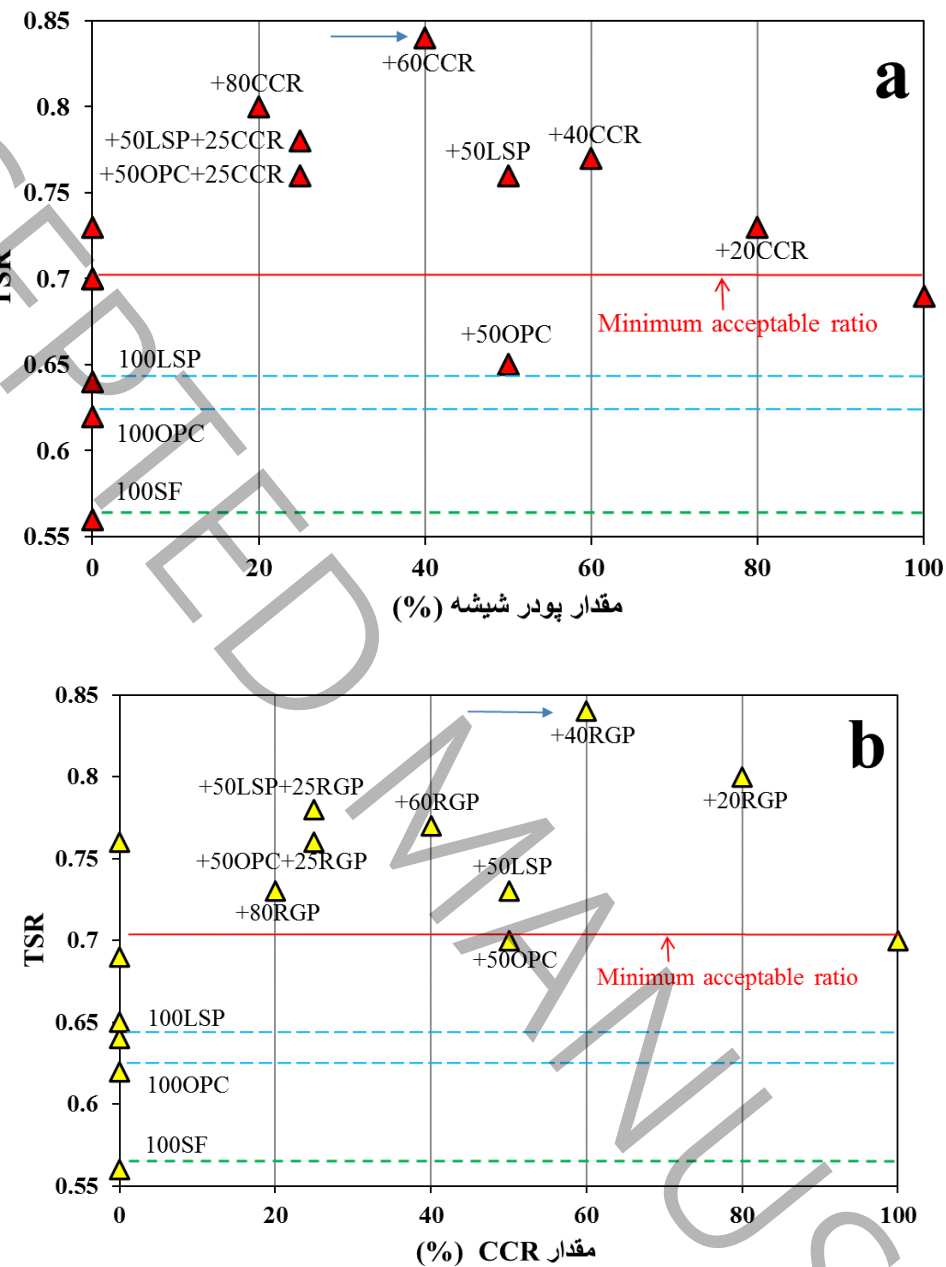
همانطور که در اشکال ۸-a و ۸-b قابل مشاهده است، بیشترین مقادیر ITS خشک و TSR عمدتاً متعلق به نمونه های حاوی ترکیب فیلرهای بازیافتی بوده است. تاثیر تغییرات مقادیر RGP و CCR بر ITS خشک و TSR نمونه های مختلف، بترتیب در شکل های ۹-a,b و ۹-a,b به نمایش گذاشته شده است.



شکل ۹. تغییرات ITS خشک در برابر مقادیر RGP (a) و CCR (b)

Figure 9. ITSdry changes against values a) RGP b) CCR

AC
CC
TS
RPT



شکل ۱۰. تغییرات TSR در برابر مقادیر CCR (a) و RGP (b)

Figure 10. TSR changes against values a) RGP b) CCR

همانطور که در شکل ۹ مشاهده می گردد، میزان ITS خشک تمامی نمونه های حاوی فیلرهای بازیافتی، بالاتر و یا بسیار نزدیک به این میزان برای نمونه های حاوی فیلر اصلی بوده (به خطچین ها توجه شود) که بیشترین آن برابر با ۲۲۱۶ کیلوپاسکال و مربوط به نمونه ۲۰CCR+80RGP با کد ۱۲۰ بوده است. در حالی که نمونه شاهد (100SF) با ۱۴۹۳ کیلوپاسکال، دارای کمترین ITS بوده است. بدین ترتیب رشد مقاومت نمونه بهینه نسبت به نمونه شاهد برابر ۴۹ درصد بوده است. دلیل مقدار ITS بالای نمونه های حاوی ترکیب فیلرهای بازیافتی

را در تیزگوش بودن و در هم قفل شدگی ذرات RGP [۲۲، ۲۷] و نیز تشکیل یک ساختار منسجم از طریق واکنش بین ذرات قلیایی CCR با قیر نسبتاً اسیدی [۲۱، ۳۷] و همکاری این دو برای بهبود خواص مکانیکی آسفالت جستجو نمود. لازم به ذکر است برای همین نمونه رشد TSR نسبت به نمونه شاهد برابر با ۳۱ درصد بوده است.

در شکل ۱۰ نیز می‌توان مشاهده نمود که تمامی نمونه‌های حاوی فیلرهای بازیافتی، TSR بالاتری نسبت به نمونه شاهد و نمونه‌های اصلی حاوی LSP و OPC داشته‌اند. این بدین معناست که حساسیت رطوبتی نمونه‌های حاوی فیلرهای بازیافتی نسبت به نمونه‌های شاهد به شکل موثری کاهش یافته است. بطوریکه بیشترین مقادیر TSR متعلق به نمونه‌های ۶۰CCR+40RGP و ۸۰CCR+20RGP، و بترتیب برابر با ۴۰، ۸۰ و ۸۴ بوده است و با افزایش مقادیر CCR از ۶۰ و RGP از ۴۰ درصد، TSR با شیب تندی رو به کاهش گذارده است. تمامی نمونه‌های حاوی فیلر بازیافتی، TSR بالاتری نسبت به نمونه‌های شاهد و اصلی داشته‌اند و بجز نمونه ۵۰۰PC+50RGP با کد ۱۱۳، توانسته‌اند حداقل میزان TSR قابل قبول توسط آیین نامه‌های آسفالت (خطوط ممتد مشخص شده در نمودار) را بدهست آورده‌اند که این خود دلیلی بر مثمر ثمر واقع شدن استفاده از فیلرهای بازیافتی و بخصوص ترکیب آنها خواهد بود.

همانطور که در شکل ۱۰ قابل مشاهده می‌باشد، ترکیب RGP و CCR بهترین نتایج را در مقاومت مارشال، MQ، ITS و بخصوص TSR داشته است. در قسمت‌های قبل در خصوص سازوکار تاثیر این دو ماده و دلیل افزایش مقادیر مقاومت مارشال، MQ و ITS توضیح داده شده است. در ادامه نیز نحوه ارتقای حساسیت رطوبتی آسفالت با استفاده از RGP و CCR بیان شده است. بطور کلی، نمونه‌های حاوی مصالح پایه سیلیسی مثل RGP، حساسیت رطوبتی بالاتری نسبت به نمونه‌های حاوی مصالح پایه کلسیمی مثل CCR داشته [۱۶، ۲۱]، و در مقابل، بدلیل تیزگوشه تر بودن، درهم قفل شدگی بیشتر و ایجاد ساختار کلوبیدی منظم در قیر، موجب افزایش اصطکاک داخلی آسفالت، و در نتیجه، افزایش مقاومت مکانیکی آسفالت می‌گردد [۱۶، ۲۲]. دلیل عملکرد بهتر CCR نسبت به RGP در مقابل آب را می‌توان به حضور کانیهای غیرقابل انحلال مانند پرتلندیت، کلسیت و دولومیت در ترکیب آن مربوط دانست [۱۶، ۲۱، ۲۴]. همچنین سطح زبرتر CCR نسبت به RGP نیز، بدلیل جذب بهتر قیر، می‌تواند موجب مقاومت بهتر نمونه‌های حاوی CCR در برابر آب باشد [۳۷]. با در نظر داشتن دلایل فوق، می‌توان ترکیبی از CCR با مقادیر بیشتر (۶۰ تا ۸۰ درصد) و RGP با مقادیر کمتر (۲۰ تا ۴۰ درصد) را عنوان ترکیب فیلر بهینه در راستای بهبود سه فاکتور سیار مهم مانند MQ، ITS و TSR معرفی نمود.

۴. نتیجه گیری

در تحقیق حاضر، نمونه‌های آسفالت با استخوانبندی سنگدانه‌ای (SMA)، با مقدار بهینه ۶٪ قیر با درجه نفوذ ۶۰/۷۰ و مقدار ثابت ۹٪ از پنج نوع فیلر متفاوت ساخته شده‌اند که فیلر سیلیسی معدنی (SF) در نمونه شاهد، پودر سنگ (LSP) و سیمان پرتلند (OPC) بعنوان فیلرهای رایج یا اصلی، و پودر شیشه بازیافتی (RGP) و پسماند کاربید کلسیم (CCR) بعنوان فیلرهای جایگزین یا پسماند، بصورت خالص و یا ترکیبی مورد استفاده قرار گرفتند. بمنظور بررسی تاثیر فیلرهای مختلف بر خواص مکانیکی و دوام آسفالت، آزمایشات مقاومت مارشال، مقاومت کششی غیر مستقیم و نسبت مقاومت کششی برای تعیین حساسیت رطوبتی، بر روی نمونه‌ها انجام شده است که خلاصه نتایج حاصله، بشرح ذیل آورده شده است:

- تمامی فیلرهای مورد استفاده در مقایسه با فیلر سیلیسی معدنی (SF)، موجب بهبود خواص مکانیکی و دوام آسفالت گردیده‌اند.

- با افزودن فیلرهای بازیافتی بعنوان جایگزین بخشی از فیلرهای رایج، مقاومت مارشال، شکل پذیری و ضریب مارشال (MQ)، بطور چشمگیری افزایش یافته اند.
- با افزایش مقادیر MQ برای نمونه های اصلاح شده می توان انتظار داشت مقاومت آسفالت در برابر شیار شدگی افزایش یابد.
- همچنین با افزودن فیلرهای بازیافتی مقادیر مقاومت کششی غیرمستقیم (ITS) در دو حالت خشک و اشباع ، و نسبت مقاومت کششی (TSR) نسبت به نمونه های شاهد افزایش قابل توجهی داشته است.
- رشد مقادیر نسبت مقاومت کششی (TSR) در نمونه های حاوی افزودنی های بازیافتی نشان دهنده کاهش حساسیت رطوبتی این نمونه ها می باشد، که نتیجه این امر خود می تواند به افزایش عمر بهره وری و دوام آسفالت ها کمک شایانی نماید.
- نمونه های حاوی فیلرهای تماما بازیافتی، بهترین عملکرد را در بهبود بخشیدن به خواص مکانیکی و دوام آسفالت داشته اند.
- تجزیه و تحلیل نتایج نشان داده است که استفاده از ترکیب فیلرهای بازیافتی CCR و RGP با غالبیت CCR (۸۰ تا ۶۰ درصد)، بهترین نتیجه را در ارتقای مقاومت مارشال، MQ، ITS، و TSR داشته است. بنابراین، این ترکیب فیلر را بعنوان ترکیب بهینه در نظر گرفت.
- استفاده از فیلر بهینه پسماند حاصل از ترکیب CCR و RGP، بعنوان جایگزین فیلرهای رایج، علاوه بر بهبود خواص مهندسی آسفالت، موجب صرفه جویی اقتصادی قابل توجه، کاهش آسیب های زیست محیطی، و حفاظت از منابع طبیعی تجدیدناپذیر می گردد.

منابع

- [1] W. Wu, W. Jiang, D. Yuan, R. Lu, J. Shan, J. Xiao, A.W. Ogbon, A review of asphalt-filler interaction: Mechanisms, evaluation methods, and influencing factors, *Construction and Building Materials*, 299 (2021) 124279.
- [2] A. Nikolaides, *Highway engineering: Pavements, materials and control of quality*, CRC Press, 2014.
- [3] K. Blazejowski, *Stone matrix asphalt: Theory and practice*, CRC Press, 2016.
- [4] G.H. Hamed, K.G. Shamami, M.M. Pakenari, Effect of ultra-high-molecular-weight polyethylene on the performance characteristics of hot mix asphalt, *Construction and Building Materials*, 258 (2020) 119729.
- [5] R. Zhai, L. Ge, Y. Li, The effect of nano-CaCO₃/styrene–butadiene rubber (SBR) on fundamental characteristic of hot mix asphalt, *Road Materials and Pavement Design*, 21(4) (2020) 1006-1026.
- [6] P. Hao, R. Zhai, Z. Zhang, X. Cao, Investigation on performance of polyphosphoric acid (PPA)/SBR compound-modified asphalt mixture at high and low temperatures, *Road Materials and Pavement Design*, 20(6) (2019) 1376-1390.
- [7] M. Gong, B. Yang, H. Zhang, Q. Sun, Comparative study on durability of different composite modified asphalt mixtures, *Road Materials and Pavement Design*, 22(6) (2021) 1369-1388.
- [8] A. Khodaii, A. Mehrara, Evaluation of permanent deformation of unmodified and SBS modified asphalt mixtures using dynamic creep test, *Construction and Building Materials*, 23(7) (2009) 2586-2592.
- [9] G.L. Baumgardner, J.R. Hardee, I.I. Negulescu, E.R. Williams, I.L. Howard, R.C.S. John, Quantitative analysis of functional polymer in recycled tyre rubber used in modified asphalt binders, *Road materials and pavement design*, 15(sup1) (2014) 263-278.
- [10] M. Ameri, S. Yeganeh, P.E. Valipour, Experimental evaluation of fatigue resistance of asphalt mixtures containing waste elastomeric polymers, *Construction and Building Materials*, 198 (2019) 638-649.
- [11] S. Ren, M. Liang, W. Fan, Y. Zhang, C. Qian, Y. He, J. Shi, Investigating the effects of SBR on the properties of gilsonite modified asphalt, *Construction and Building Materials*, 190 (2018) 1103-1116.
- [12] M. Vamegh, M. Ameri, S.F.C. Naeni, Experimental investigation of effect of PP/SBR polymer blends on the moisture resistance and rutting performance of asphalt mixtures, *Construction and building materials*, 253 (2020) 119197.

- [13] J. Wilanowicz, W. Grabowski, M. Andrzejczak, A. Chromiec, Assessment of the suitability of baghouse dusts from a dust extractor as fillers for hot-mix asphalt, *Procedia Engineering*, 57 (2013) 1269-1277.
- [14] S. Sargin, M. Saltan, N. Morova, S. Serin, S. Terzi, Evaluation of rice husk ash as filler in hot mix asphalt concrete, *Construction and Building Materials*, 48 (2013) 390-397.
- [15] Q. Chen, C. Wang, Z. Qiao, T. Guo, Graphene/tourmaline composites as a filler of hot mix asphalt mixture: Preparation and properties, *Construction and Building Materials*, 239 (2020) 117859.
- [16] J. Choudhary, B. Kumar, A. Gupta, Analysis and comparison of asphalt mixes containing waste fillers using a novel ranking methodology, *Journal of Materials in Civil Engineering*, 32(5) (2020) 04020064.
- [17] M.-z. Chen, J.-t. Lin, S.-p. Wu, C.-h. Liu, Utilization of recycled brick powder as alternative filler in asphalt mixture, *Construction and Building Materials*, 25(4) (2011) 1532-1536.
- [18] D. Jin, J. Wang, L. You, D. Ge, C. Liu, H. Liu, Z. You, Waste cathode-ray-tube glass powder modified asphalt materials: Preparation and characterization, *Journal of Cleaner Production*, 314 (2021) 127949.
- [19] K. Yildiz, M. Atakan, Improving microwave healing characteristic of asphalt concrete by using fly ash as a filler, *Construction and Building Materials*, 262 (2020) 120448.
- [20] J. Choudhary, B. Kumar, A. Gupta, Performance evaluation of asphalt concrete mixes having copper industry waste as filler, *Transportation Research Procedia*, 48 (2020) 3656-3667.
- [21] J. Choudhary, B. Kumar, A. Gupta, Application of waste materials as fillers in bituminous mixes, *Waste management*, 78 (2018) 417-425.
- [22] A. Gedik, An exploration into the utilization of recycled waste glass as a surrogate powder to crushed stone dust in asphalt pavement construction, *Construction and Building Materials*, 300 (2021) 123980.
- [23] M. Ghasemi, S.M. Marandi, Laboratory investigation of the properties of stone matrix asphalt mixtures modified with rgp-sbs, *Digest Journal of Nanomaterials and Biostructures*, 6(4) (2011) 1823-1834.
- [24] J. Choudhary, B. Kumar, A. Gupta, Potential utilization of construction wastes in asphalt pavements as fillers using ranking framework, *Construction and Building Materials*, 277 (2021) 122262.
- [25] A. Simone, F. Mazzotta, S. Eskandarsefat, C. Sangiorgi, V. Vignali, C. Lantieri, G. Dondi, Experimental application of waste glass powder filler in recycled dense-graded asphalt mixtures, *Road Materials and Pavement Design*, 20(3) (2019) 592-607.
- [26] Y. Chen, S. Xu, G. Tebaldi, E. Romeo, Role of mineral filler in asphalt mixture, *Road materials and pavement design*, 23(2) (2022) 247-286.
- [27] M. Arabani, S.A. Tahami, M. Taghipoor, Laboratory investigation of hot mix asphalt containing waste materials, *Road Materials and Pavement Design*, 18(3) (2017) 713-729.
- [28] M.S. Lima, L.P. Thives, Evaluation of red mud as filler in Brazilian dense graded asphalt mixtures, *Construction and Building Materials*, 260 (2020) 119894.
- [29] H. Zhang, H. Li, A. Abdelhady, N. Xie, W. Li, J. Liu, X. Liang, B. Yang, Fine solid wastes as a resource-conserving filler and their influence on the performance of asphalt materials, *Journal of Cleaner Production*, 252 (2020) 119929.
- [30] M.H. Al-Sayed, I.M. Madany, W. Al-Khaja, A. Darwish, Properties of asphaltic paving mixes containing hydrated lime waste, *Waste management & research*, 10(2) (1992) 183-194.
- [31] A.M. Awed, E.W. Tarbay, S.M. El-Badawy, A.M. Azam, Performance characteristics of asphalt mixtures with industrial waste/by-product materials as mineral fillers under static and cyclic loading, *Road Materials and Pavement Design*, 23(2) (2022) 335-357.
- [32] A. Kuity, A. Das, Effect of filler gradation on creep response of asphalt mix, *Road Materials and Pavement Design*, 18(4) (2017) 913-928.
- [33] A. Karakuş, Investigating on possible use of Diyarbakir basalt waste in Stone Mastic Asphalt, *Construction and Building Materials*, 25(8) (2011) 3502-3507.
- [34] A. Al-Hdabi, Laboratory investigation on the properties of asphalt concrete mixture with Rice Husk Ash as filler, *Construction and Building Materials*, 126 (2016) 544-551.
- [35] A. Ameli, R. Babagoli, N. Norouzi, F. Jalali, F.P. Mamaghani, Laboratory evaluation of the effect of coal waste ash (CWA) and rice husk ash (RHA) on performance of asphalt mastics and Stone matrix asphalt (SMA) mixture, *Construction and Building Materials*, 236 (2020) 117557.

- [36] H. Taherkhani, R. Bayat, Investigating the properties of asphalt concrete containing recycled brick powder as filler, European Journal of Environmental and Civil Engineering, 26(8) (2022) 3583-3593.
- [37] A. Dulaimi, H.K. Shanbara, H. Jafer, M. Sadique, An evaluation of the performance of hot mix asphalt containing calcium carbide residue as a filler, Construction and Building Materials, 261 (2020) 119918.
- [38] M. Fakhri, The effects of nano zinc oxide (ZnO) and nano reduced graphene oxide (RGO) on moisture susceptibility property of stone mastic asphalt (SMA), Case Studies in Construction Materials, 15 (2021) e00655.
- [39] A.H. Korayem, H. Ziari, M. Hajiloo, M. Abarghooie, P. Karimi, Laboratory evaluation of stone mastic asphalt containing amorphous carbon powder as filler material, Construction and Building Materials, 243 (2020) 118280.
- [40] B.V. Kök, M. Yilmaz, Y. Erkus, Effects of graphite on mechanical properties of stone mastic asphalt pavement, Journal of civil engineering and management, 23(8) (2017) 1013-1020.
- [41] M. Chen, J. Lin, S. Wu, Potential of recycled fine aggregates powder as filler in asphalt mixture, Construction and building materials, 25(10) (2011) 3909-3914.
- [42] A. Woszuk, L. Bandura, W. Franus, Fly ash as low cost and environmentally friendly filler and its effect on the properties of mix asphalt, Journal of Cleaner Production, 235 (2019) 493-502.
- [43] Y. Cheng, J. Tao, Y. Jiao, G. Tan, Q. Guo, S. Wang, P. Ni, Influence of the properties of filler on high and medium temperature performances of asphalt mastic, Construction and Building Materials, 118 (2016) 268-275.
- [44] A.M. Babalghaith, S. Koting, N.H.R. Sulong, M.R. Karim, B.M. AlMashjary, Performance evaluation of stone mastic asphalt (SMA) mixtures with palm oil clinker (POC) as fine aggregate replacement, Construction and building materials, 262 (2020) 120546.
- [45] A. Modarres, M. Rahmanzadeh, Effect of Coal-waste Filler and its Ash on Strength and Durability of Hot-mix Asphalt in Comparison to Limestone Powder, Transportation Infrastructure Engineering, 1(1) (2015) 55-65. **(in Persian)**.
- [46] M. Chen, J. Zheng, F. Li, S. Wu, J. Lin, L. Wan, Thermal performances of asphalt mixtures using recycled tyre rubber as mineral filler, Road Materials and Pavement Design, 16(2) (2015) 379-391.
- [47] M.J. Choi, Y.J. Kim, H.J. Kim, J.J. Lee, Performance evaluation of the use of tire-derived fuel fly ash as mineral filler in hot mix asphalt concrete, Journal of Traffic and Transportation Engineering (English Edition), 7(2) (2020) 249-258.
- [48] X. Hu, N. Wang, P. Pan, T. Bai, Performance evaluation of asphalt mixture using brake pad waste as mineral filler, Construction and Building Materials, 138 (2017) 410-417.
- [49] F. Giuliani, F. Merusi, G. Polacco, S. Filippi, M. Paci, Effectiveness of sodium chloride-based anti-icing filler in asphalt mixtures, Construction and Building Materials, 30 (2012) 174-179.
- [50] C. Sangiorgi, P. Tataranni, A. Simone, V. Vignali, C. Lantieri, G. Dondi, Assessment of waste bleaching clay as alternative filler for the production of porous asphalts, Construction and Building Materials, 109 (2016) 1-7.
- [51] J. Yi, Y. Cao, D. Feng, Y. Huang, Characterization of zirconium tungstate filler and performance investigation on asphalt mastic made with zirconium tungstate filler, Construction and Building Materials, 125 (2016) 387-397.
- [52] M. Arabani, S. Babamohammadi, A. Azarhoosh, Experimental investigation of seashells used as filler in hot mix asphalt, International Journal of Pavement Engineering, 16(6) (2015) 502-509.
- [53] H. Taherkhani, Evaluation and Comparison of the Properties of Asphalt Concrete Containing Recycled Brick and Glass Powder as Filler, Journal of Transportation Research, 12(2) (2015) 157. **(in Persian)**.
- [54] A. Mansourian, M. Molaei, Evaluation of Rutting Resistance of Stone Mastic Asphalt Containing Crumb Rubber and Glass Cullet, Transportation Infrastructure Engineering, 1(2) (2015) 77-86. **(in Persian)**.
- [55] R. Beyrami, G.H. Hamed, B. Golchin, Evaluation the Effect of Glass Wastes and Metal Oxides Nanoparticles on the Stripping Strength of Asphalt Mixtures, Transportation Research Procedia, 15(4) (2018) 97-112. **(in Persian)**.
- [56] M.P. Bilondi, M.M. Toufigh, V. Toufigh, Using calcium carbide residue as an alkaline activator for glass powder-clay geopolymers, Construction and Building Materials, 183 (2018) 417-428.
- [57] N. Makaratat, C. Jaturapitakkul, T. Laosamathikul, Effects of calcium carbide residue-fly ash binder on mechanical properties of concrete, Journal of Materials in Civil Engineering, 22(11) (2010) 1164-1170.

Laboratory investigation on the use of recycled fillers in improving the performance of Stone Mastic Asphalt (SMA)

A
C
C
T
Ahmad Baseri Azghandi¹, Meysam Pourabbas Bilondi ^{2*}, Danial Moazami ³

¹ Department of Civil Engineering, Mashhad Branch, Islamic Azad University, Mashhad, Iran.

² Department of Civil Engineering, University of Gonabad, Gonabad, Iran.

³ Department of Civil Engineering, Mashhad Branch, Islamic Azad University, Mashhad, Iran.

ABSTRACT

The present research was conducted with the aim of investigating the effect of the type of filler on the mechanical properties of the stone mastic asphalt (SMA). For this purpose, five types of fillers, including silica filler (SF) as the base filler in the control sample, Portland cement (OPC) and limestone powder (LSP) as common fillers, and recycled glass powder (RGP) and calcium carbide waste (CCR) as recycled fillers, were used in their pure form or combined with each other. In order to investigate the resistance of the samples against rutting, the Marshall test was used to obtain the Marshall strength (MS) and especially the Marshall coefficient (MQ). Also, resistance to cracking and moisture sensitivity were also evaluated by performing the Indirect Tensile Strength (ITS) test in dry and saturated conditions and obtaining the Tensile Strength Ratio (TSR). The results have shown that the samples containing recycled fillers had the best performance in improving the properties of SMA asphalt. such that the use of the combination of recycled fillers, in addition to improving the properties of SMA compared to samples containing silica fillers, The values of MS, MQ, ITS, and TSR have increased by 36, 19, 24, and 31%, respectively, compared to the best results obtained using common fillers (OPC or LSP). Therefore, the use of RGP and CCR compounds as fillers in SMA asphalt, in addition to helping to protect the environment, natural resources and economic savings, can also be technically very effective in improving the service life of asphalt mixtures.

KEYWORDS

Stone mastic asphalt, calcium carbide residue, waste glass powder, asphalt rutting, moisture sensitivity.

*Corresponding Author: E-mail: mpoorabbas64@gmail.com